

# OBSAH

<b>6 UMELÉ NEURÓNOVÉ SIETE.....</b>	<b>157</b>
6.1 POTREBNÉ POJMY Z NEUROBIOLOGIE .....	158
6.2 PERCEPTRÓN – MODEL NEURÓNU .....	160
6.3 VIACVRSTVOVÉ DOPREDNÉ SIETE A ICH UČENIE.....	162
6.4 REKURENTNÉ SIETE A ICH UČENIE.....	176
6.5 RBF SIETE A ICH UČENIE .....	186
6.6 SAMOORGANIZUJÚCA SA MAPA.....	187
6.7 HISTÓRIA UMELÝCH NEURÓNOVÝCH SIETÍ.....	194



## 6 UMELÉ NEURÓNOVÉ SIETE

POTREBNÉ POJMY Z NEUROBIOLOGIE •

PERCEPTRÓN • VIACVRSTVOVÉ DOPREDNÉ SIETE  
A ICH UČENIE • REKURRENTNÉ SIETE A ICH UČENIE  
• RBF SIETE A ICH UČENIE • HISTÓRIA UMELÝCH  
NEURÓNOVÝCH SIETÍ

*V tejto kapitole si predstavíme základné modely umelých neurónových sietí (angl. artificial neural networks), ako z teoretického, tak aj aplikačného hľadiska. Oboznámime sa so základnými pojмami týkajúcimi sa prvkov, architektúry a učenia neurónových sietí, ktoré boli pôvodne inšpirované neurobiologiou mozgu. Vysvetlíme si, ako umelé neurónové siete vykonávajú klasifikáciu vzorov, aproximáciu funkcií, ako vedia predpovedať budúci vývoj dát, či ako vedia hrať hry a navigovať robota.*

HLAVNÁ  
MYŠLIENKA  
UMELÝCH  
NEURÓNOVÝCH  
SIETÍ

Ľudský mozog je vrcholom evolúcie na našej Zemi a zatiaľ najdokonalejším „nástrojom“ na spracovanie informácií. Tak ako sa klasická umelá inteligencia snaží napodobovať „softvér“, tak sa umelé neurónové siete snažia napodobovať „hardvér“, na ktorom sa tento „softvér“ v realite vykonáva. V priebehu tohto napodobovania vznikli zaujímavé výpočtové systémy, ktoré vykonávajú podobné funkcie ako ich vzor, ale ním nie sú, tak isto ako v priebehu napodobovania lietania nebol stvorený vták, ale lietadlo.

EMERGENTNÉ  
SPRÁVANIE

Učenie sa z príkladov a paralelné spracovanie signálov mnohými prvkami vedú k takému makroskopickému správaniu neurónových sietí, ktoré nie je predpovedateľné na základe vlastností jednotlivých prvkov systému. Ide o tzv. **emergentné správanie** podľa latinského slova emergencia, ktoré vo všeobecnosti znamená vynorenie sa, objavenie sa. Kolektívne správanie umelých neurónových sietí sa vynára na základe modelovania princípov činnosti nervového systému. Na druhej strane emergentné vlastnosti viackonateľových systémov sú založené na modelovaní princípov evolúcie života a spoločnosti.

UMELÉ  
NEURÓNOVÉ SIETE  
V KONTEXTE  
UMELEJ

V tých prípadoch, keď nepoznáme pravidlá, podľa ktorých by sme modelovali riešenie danej situácie, alebo tieto pravidlá sú veľmi zložité, či neúplné, vtedy je jednou z možností použitie umelých neurónových sietí. Treba zdôrazniť, že je to

**INTELIGENCIE** iba jedna z možností. Ďalšími alternatívami sú napríklad klasické štatistické metódy, viackonateľové systémy alebo iné adaptívne výpočtové systémy. Keď poznáme pravidlá, je vždy lepšie použiť prístupy klasickej umelej inteligencie. Umelé neurónové siete sú „dobré“ v rozpoznávaní a klasifikácii vzorov (obrazcov) do tried (angl. *pattern recognition and classification*).

Vzory treba chápať ako abstraktné entity, nemusia to byť iba vizuálne vzory. Vo všeobecnosti umelé neurónové siete vedia riešiť najrôznejšie asociačné úlohy. Aj rozpoznanie, či klasifikácia vzorov je vlastne asociácia, a to asociácia vzoru s jeho triedou. Ak vieme nejaký problém formulovať ako asociačnú úlohu, budeme môcť použiť umelé neurónové siete.

**VIAC O OBSAHU KAPITOLY** V tejto kapitole sa budeme zaoberať takými modelmi umelých neurónových sietí, ktoré sa učia tak, že „učiteľ“ im v priebehu učenia hovorí, aké má byť správne riešenie problému. Dôležité sú však aj umelé neurónové siete, ktoré sa učia bez tejto informácie a majú vlastnosti samoorganizácie (Kvasnička et al., 1997; Oravec et al., 1998). Naša voľba je motivovaná tým, že prvy typ má v súčasnosti univerzálnejšie použitie ako druhý typ.

Základná terminológia umelých neurónových sietí je založená na neurobiologickej terminológii, preto našu kapitolu začíname vysvetlením potrebných základných neurobiologických pojmov. Historicky aj konceptuálne je dôležitá teória perceptrónov, na ktorú nadväzuje konštrukcia dopredných viacvrstvových neurónových sietí, ktoré sa používajú na aproximáciu zložitých nelineárnych funkcií a na asociačné úlohy. Pokračujeme predstavením rekurentných neurónových sietí, ktoré sa používajú na asociačné a predikčné úlohy s časovým kontextom. Na záver spomenieme RBF siete s novým typom stavebných prvkov, ktoré podstatne zrychlujú učenie.

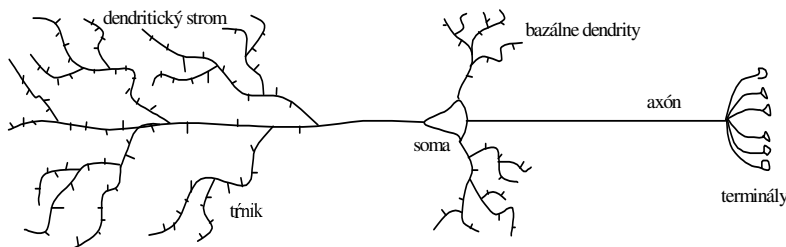
## 6.1 POTREBNÉ POJMY Z NEUROBIOLOGIE

**NEURÓN** Odhaduje sa, že v ľudskom mozgu sa nachádza rádovo  $10^{11}$  nervových buniek (neurónov) (Maršala, 1985). Dve tretiny neurónov tvoria 4–6 mm hrubú mozgovú kôru, ktorá tvorí jeho silne zvrásnený povrch. Predpokladá sa, že mozgová kôra je sídlom poznávacích (kognitívnych) procesov. V neurónoch prebiehajú zložité biochemické deje, ktoré zabezpečujú to, že neuróny môžu spracúvať signály z iných neurónov a vysielať k nim svoje vlastné signály.

Signály môžeme reprezentovať ako reálne čísla vyjadrujúce intenzitu (veľkosť) prijímaných a vysielaných signálov, ktoré majú v skutočnosti elektrickú a chemickú povahu. Spoj medzi dvoma neurónmi (miesto prenosu signálu z jedného neurónu na druhý) sa nazýva **synapsa**. V synapse sa môže ten istý signál buď zosilniť alebo zoslabiť. Silu pôsobenia synapsy určuje **váha synapsy** (angl. *synaptic weight*). Jeden neurón môže mať na svojom povrchu rádovo  $10^3$  až  $10^5$  synáps. Vstupný povrch neurónu pozostáva z dendritov a tela (somy) neurónu (pozri obr. 6.1). Tisícky dendritov tvoria bohatu rozvetvený strom, na ktorom sa

nachádza väčšina synáps, a to najmä na trníkoch.

OBR. 6.1.  
NEURÓN



#### EXCITÁCIA INHIBÍCIA

Signály od ostatných neurónov môžu mať buď kladné alebo záporné znamienko. V prvom prípade sú miestom prenosu tzv. **excitačné synapsy** a v druhom prípade tzv. **inhibičné synapsy**. Keď suma kladných a záporných príspevkov (signálov) od ostatných neurónov vahovaná váhami príslušných synáps prekročí istú hodnotu, nazývanú *prah excitácie* neurónu, neurón vygeneruje **výstupný impulz** (angl. *spike*). Zvyčajne neurón ako odpoveď na svoju stimuláciu vygeneruje celú sériu impulzov, ktoré majú nejakú priemernú frekvenciu, rádovo  $10\text{--}10^2$  Hz. Frekvencia je úmerná celkovej stimulácii neurónu. Výstupné impulzy sa šíria k ostatným neurónom pozdĺž jediného výstupného výbežku neurónu, ktorý sa nazýva *axón*. Axón sa na svojom konci rozvetvuje na tisícky výbežkov. Zakončenia týchto axónových výbežkov tvoria synapsy na ostatných neurónoch v sieti.

#### UČENIE

V mozgovej kôre a vôbec v celom mozgu je to, ktoré neuróny a akým typom synáps budú komunikovať, úplne geneticky určené. Koľko synáps bude medzi danými neurónmi je tiež z podstatnej časti geneticky určené. Tento počet sa môže „dodať“ v závislosti od konkrétnej skúsenosti jedinca, a to najmä v detstve.



V priebehu celého života sa v dôsledku individuálnej skúsenosti (učenia) menia váhy jednotlivých synáps (Kvasnička et al., 1997). V súčasnosti sa všeobecne akceptuje poznatok, že *učenie sprevádzajú zmeny váh synáps v mozgových neurónových sietiach*. Otázkou zostáva akým pravidlom, či pravidlami sa tieto zmeny riadia.

#### KÓDOVANIE A REPREZENTÁCIA

Prvým princípom kódovania a reprezentácie informácií v mozgu je **nadbytočnosť** (redundancia). Znamená to, že každá informácia (akokoľvek ju chápeme) sa prenáša, prijíma a spracúva nadbytočným počtom neurónov a synáps, aby sa v prípade poškodenia sieti nestratila úplne. Výsledkom je to, že keď sa poškodzujú neurónové siete, či už biologické alebo umelé, ich výkon upadá len veľmi pozvoľna (angl. *graceful degradation*).

Ďalej, súčasná predstava je taká, informácia (nie v shannonovskom zmysle, ale v zmysle obsahu, resp. významu) je zakódovaná v tom, ktoré neuróny s ktorými komunikujú. To je dané geneticky (evolučne) a v danom rámci sa dotvára učením. Každý objekt sa reprezentuje celou danou sietou neurónov. V tejto sieti je dôležitá tak distribúcia aktívnych, ako aj neaktívnych neurónov. Nazýva sa to **distribuovaná reprezentácia**. Rozličné objekty sa reprezentujú rozličnými vzorcami resp. distribúciami aktivity v príslušných neurónových sietiach.

- ?
- V umelých neurónových sieťach sa vstupná i výstupná aktivita siete interpretuje programátorom. Čo plní túto úlohu v mozgu? Iné neurónové siete? Vedomie? Čo je to vedomie? To ostáva zatiaľ záhadou.

## 6.2 PERCEPTRÓN – MODEL NEURÓNU

VSTUPNÝ  
VEKTOR

VÁHOVÝ VEKTOR

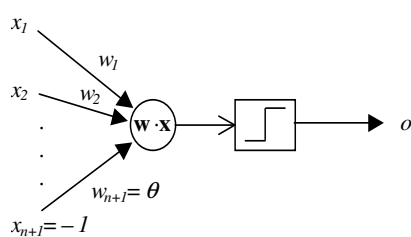
**Perceptrón** (percept = vnem) je model neurónu, ktorý prijíma vstupné signály  $\bar{x} = (x_1, x_2, \dots, x_{n+1})$  cez synaptické váhy tvoriace váhový vektor  $\bar{w} = (w_1, w_2, \dots, w_{n+1})$  (pozri obr. 6.2). Vstupný vektor  $\bar{x}$  sa nazýva **vzor** alebo **obrazec** (angl. *pattern*). Zložky vstupného vektora môžu nadobúdať reálne alebo binárne hodnoty. Príkladom môže byť obrázok (písmeno, odtlačok prsta atď.) zakódovaný ako pole (vektor) hodnôt. Zložky váhového vektora sú reálne čísla.

Výstup perceptrónu  $o$  je daný vzťahom:

$$o = f(\text{net}) = f(\bar{w} \cdot \bar{x}) = f\left(\sum_{j=1}^{n+1} w_j x_j\right) = f\left(\sum_{j=1}^n w_j x_j - \theta\right) \quad (6.1)$$

kde premenná  $\text{net}$  označuje váhovanú sumu vstupov, t.j. skalárny (zložkový) súčin váhového a vstupného vektora. Funkcia  $f$  sa volá **aktivačná funkcia** perceptrónu.

OBR. 6.2.  
PERCEPTRÓN



V tejto notácii predpokladáme, že perceptrón má  $n+1$  vstupov. Hodnota  $(n+1)$ -vého vstupu je vždy  $-1$  a  $w_{n+1} = \theta$ , čo je hodnota prahu excitácie perceptrónu (angl. *threshold*).



V roku 1958 Rosenblatt zaviedol diskrétny perceptrón s bipolárnou binárnom aktivačnou funkciou (funkcia signum, znamienko):

$$f(\text{net}) = \text{sign}(\text{net}) = \begin{cases} +1 & \text{ak } \text{net} \geq 0 \Leftrightarrow \sum_{j=1}^n w_j x_j \geq \theta \\ -1 & \text{ak } \text{net} < 0 \Leftrightarrow \sum_{j=1}^n w_j x_j < \theta \end{cases} \quad (6.2)$$

Rovnica

$$\sum_{j=1}^n w_j x_j - \theta = 0 \quad (6.3)$$

je rovnicou nadroviny v  $n$ -rozmernom priestore. Napr. v 2-rozmernom priestore

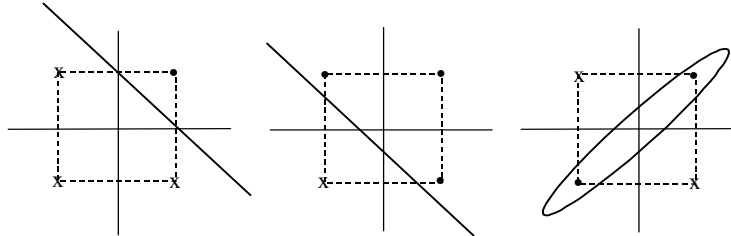
**KLASIFIKÁCIA**  
**LINEÁRNA**  
**SEPARÁCIA**

je to rovnica priamky:  $w_1x_1 + w_2x_2 - \theta = 0$ . Váhy perceptrónu predstavujú koeficienty deliacej priamky (nadroviny), ktorá rozdeľuje priestor vzorov na dva podpriestory. Perceptrón teda dokáže klasifikovať, t.j. zatriedovať vzory, do dvoch tried, ktoré sú lineárne oddelené deliacou hranicou vyjadrenou rovnicou (6.3). Inými slovami, perceptrón dokáže riešiť iba tzv. **lineárne separovateľné problémy**.

Takýmito problémami sú napr. logické funkcie AND a OR. Funkcia XOR nie je lineárne separovateľná (obr. 6.3). Rosenblatt ukázal, že je možné natrénovať perceptrón pomocou vzorov tak, že jeho synaptické váhy budú zodpovedať koeficientom deliacej nadroviny, ak táto existuje (Rosenblatt, 1958).

OBR. 6.3.

AND, OR A XOR



**UČENIE**

Všeobecné pravidlo učenia pre umelé neurónové siete znie: Váhový vektor  $\bar{w}$  sa zväčšuje priamo úmerne so súčinom vstupného vektora  $\bar{x}$  a učiaceho signálu  $s$ . Učiaci signál  $s$  je funkciou  $\bar{w}$ ,  $\bar{x}$  a niekedy aj spätej väzby od učiteľa  $d$ . Teda:

$$s = s(\bar{w}, \bar{x}, d) \quad \text{alebo} \quad s = s(\bar{w}, \bar{x}) \quad (6.4)$$

V prvom prípade ide o **učenie s učiteľom** (angl. *supervised learning*). V druhom prípade ide o **učenie bez učiteľa** (angl. *unsupervised learning*). Pri učení v umelých neurónových sieťach sa v diskrétnych časových krokoch mení  $j$ -ta váha takto:

$$w_j(t+1) = w_j(t) + \Delta w_j(t) = w_j(t) + \alpha s(t) x_j(t) \quad (6.5)$$

Konštantu  $0 < \alpha \leq 1$  sa nazýva **rýchlosť učenia** (angl. *learning rate*).

**$\delta$ -PRAVIDLO**

Učiacim signálom pre binárny perceptrón je aritmetický rozdiel medzi požadovanou a skutočnou odpovedou perceptrónu, t.j.  $s = d - o = \delta$ . Pravidlo učenia binárneho perceptrónu sa nazýva **pravidlo  $\delta$  (delta)**. Pre  $j$ -tu váhu platí:

$$\Delta w_j = \alpha (d - o) x_j \quad (6.6)$$

Pre binárny bipolárny perceptrón je požadovaným výstupom pre jednu triedu  $d = +1$ , a pre druhú triedu  $d = -1$ . Pravidlo  $\delta$  platí aj pre unipolárny binárny perceptrón, pre ktorý  $d \in \{0, 1\}$  aj  $o \in \{0, 1\}$ . Keď sa pozrieme na pravidlo (6.6) vidíme, že keď chceme, aby daný vzor patril do triedy  $d = 1$ , ale momentálne dáva perceptrón výstup  $o = -1$ , potom  $\delta = 2$  a  $j$ -ta váha sa zväčší, ak je  $j$ -ty vstup  $x_j > 0$ . Ak  $x_j < 0$ ,  $j$ -ta váha sa zmenší. Takéto zmeny váh vedú k tomu, aby sa po  $k$  krokoch daný vzor klasifikoval do triedy  $d = 1$ . Podľa pravidla

(6.6) sa upravuje aj prah perceptrónu  $w_{n+1} = \theta$ .

TRÉNOVACIA  
MNOŽINA

$A_{train} = \{(\bar{x}^1, d^1)(\bar{x}^2, d^2) \dots (\bar{x}^P, d^P)\}$  zložená z  $P$  dvojíc vstupných vektorov a k nim prislúchajúcich požadovaných výstupov je **trénovacia množina** (angl. *training set*). Potom je algoritmus trénovania perceptrónu takýto:



**KROK 1:** Zvolíme  $\alpha \in (0, 1)$ . Počiatočné váhy (vrátane prahu) inicializujeme ako náhodné čísla  $\in (-1, 1)$ . Počítadlá nastavíme takto:  $k = 1$ ,  $p = 1$ , kde  $k$  je poradové číslo prechodu cez  $A_{train}$  a  $p$  je index vzoru. Chyba  $E = 0$ .

**KROK 2:** Na vstup dáme vzor  $\bar{x}^p$  vypočítame výstup  $o = sign(\sum_{j=1}^{n+1} w_j x_j^p)$ .

**KROK 3:** Upravíme váhy tak, že  $w_j \leftarrow w_j + \alpha (d^p - o^p) x_j^p$  pre  $j = 1, \dots, n+1$ .

**KROK 4:** Vypočítame chybu  $E \leftarrow E + \frac{1}{2} (d^p - o^p)^2$ .

**KROK 5:** Ak  $p < P$ , tak polož  $p = p + 1$  a choď na krok 2. Inak choď na krok 6.

**KROK 6:** Ak  $E = 0$ , ukončí učenie. Inak polož  $E = 0$ ,  $p = 1$ ,  $k = k + 1$  a choď na krok 2. Začína sa nový trénovací cyklus (epocha), t.j. nový prechod cez  $A_{train}$ .

Rosenblatt (1958) dokázal vetu o konvergencii binárneho perceptrónu, ktorá hovorí, že pre  $\forall \alpha$  ( $\alpha > 0$ ) perceptrón nájde koeficienty lineárnej deliacej hranice medzi dvoma triedami po konečnom počte iterácií (6.6), ak takáto hranica existuje. Minsky a Papert neskôr ukázali, že viacvrstvové dopredné siete zložené z takýchto binárnych perceptrónov dokážu riešiť iba lineárne separovateľné problémy (Minsky and Papert, 1969).

## 6.3 VIACVRSTVOVÉ DOPREDNÉ SIETE A ICH UČENIE

UČENIE  
METÓDOU  
SPÄTNÉHO  
ŠÍRENIA CHÝB

Väčšina reálnych problémov má nelineárny charakter. To znamená, že sa nedajú vyriešiť sčítaním lineárnych hraníc. Problém s obmedzenou výpočtovou schopnosťou perceptrónov sa vyriešil až v roku 1986, keď Rumelhart, Hinton a Williams (1986) zaviedli pravidlo trénovania nazvané **metóda spätného šírenia chýb** (angl. *error backpropagation*) pre dopredné neurónové siete so skrytými neurónmi.

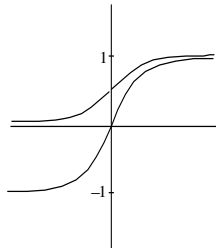


Tzv. **viacvrstvové dopredné** umelé neurónové siete (angl. *multilayer feed-forward ANN*), ktoré sa trénujú týmto pravidlom sú schopné riešiť aj nelineárne problémy. Pri odvodzovaní tohto algoritmu pre dvojvrstvovú doprednú sieť budeme postupovať podľa (Zurada, 1992). Dopredné neurónové siete sa vyznačujú tým, že v nich existujú iba dopredné spojenia medzi neurónmi. Každý *neurón jednej vrstvy* vysiela signály na každý *neurón nasledujúcej vrstvy*.

Spojenia do predchádzajúcej vrstvy ani v rámci jednej vrstvy neexistujú.

Najskôr si zovšeobecníme pravidlo  $\delta$  pre jednovrstvovú neurónovú sieť zloženú zo spojitých perceptrónov. Výstup spojitého perceptrónu je daný vzťahom (6.1). Aktivačná funkcia spojitého perceptrónu  $f(\text{net})$  môže byť ľubovoľná diferencovateľná funkcia. Najčastejšie sa volí výstup v tvaru sigmoidy (obr. 6.4). Aj vstupno-výstupná charakteristika biologického neurónu má sigmoidálny tvar. Neskôr si povieme aj o iných spojitých aktivačných funkciách.

**OBR.6.4.**  
SIGMOIDA -  
UNIPOLÁRNA A  
BIPOLÁRNA

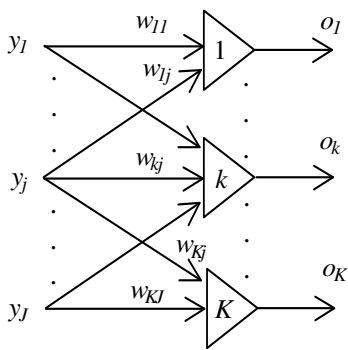


$$\text{Unipolárna sigmoida: } f(\text{net}) = \frac{1}{1 + \exp(-\lambda \text{net})} \quad (6.7)$$

$$\text{Bipolárna sigmoida: } f(\text{net}) = \frac{2}{1 + \exp(-\lambda \text{net})} - 1 \quad (6.8)$$

Konšanta  $\lambda > 0$  sa nazýva strmosť sigmoidy. Zvyčajne sa používa  $\lambda = 1$ . V limite pre  $\lambda \rightarrow \infty$  bipolárna sigmoida prejde na funkciu signum a unipolárna sigmoida na krokovú funkciu.

**OBR.6.5.**  
JEDNOVRSTVOVÁ  
DOPREDNÁ UNS



Majme jednovrstvovú neurónovú sieť ilustrovanú na obr. 6.5. Vstupný vektor je  $\bar{y} = (y_1, \dots, y_j, \dots, y_J)$ . Výstupný vektor je  $\bar{o} = (o_1, \dots, o_k, \dots, o_K)$ , kde  $o_k = f(\text{net}_k)$  a

$$\text{net}_k = \sum_{j=1}^J w_{kj} y_j \quad (6.9)$$

Nech vždy  $y_J = -1$  a  $w_{kJ} = \theta_k$ , čo je modifikovateľný prah pre  $k = 1, \dots, K$  výstupných neurónov. Požadovaný výstup siete je  $\bar{d} = (d_1, \dots, d_k, \dots, d_K)$ .

CHYBOVÁ FUNKCIA

Chceme, aby sa po naučení skutočný výstup siete rovnal požadovanému výstupu, resp. aby sa mu priblížil čo najviac, a to pre všetky vzory  $p = 1, \dots, P$  z  $A_{train}$ . Definujeme účelovú funkciu, ktorá sa volá **chybová funkcia** (angl. *error function*) a má tvar:

$$E_p = \frac{1}{2} \sum_{k=1}^K (d_{pk} - o_{pk})^2 \quad (6.10)$$

kde  $p$  je index vzoru.  $E_p$  je sumou štvorcov chýb na všetkých výstupných neurónoch. Učenie siete spočíva v modifikovaní váh tak, aby sa minimalizovala  $E_p$ . Na hľadanie minima  $E_p$  sa aplikuje inkrementová metóda negatívneho gradi-

entu<sup>1</sup> nazývaná aj **metóda najprudšieho spádu (najstrmšieho zostupu)** (angl. *steepest descent*).

Zmena vähy  $w_{kj}$  je nepriamo úmerná parciálnej derivácie  $E_p$  podľa  $w_{kj}$ <sup>2</sup>:

$$\Delta w_{kj} = -\alpha \frac{\partial E_p}{\partial w_{kj}} = -\alpha \frac{\partial E_p}{\partial(\text{net}_k)} \frac{\partial(\text{net}_k)}{\partial w_{kj}} = \alpha \delta_{ok} y_j \quad (6.11)$$

kde  $\alpha$  je rýchlosť učenia. Záporná parciálna derivácia  $-\partial E_p / \partial(\text{net}_k) = \delta_{ok}$ , čo je zovšeobecnený učiaci signál produkovaný  $k$ -tym výstupným neurónom. Parciálna derivácia  $\partial(\text{net}_k) / \partial w_{kj} = y_j$  (pozri rovnicu 6.9). Ďalej si odvodíme, čomu sa rovná  $\delta_{ok}$ :

$$\delta_{ok} = -\frac{\partial E_p}{\partial(\text{net}_k)} = -\frac{\partial E_p}{\partial o_k} \frac{\partial o_k}{\partial(\text{net}_k)} = (d_{pk} - o_{pk}) f'_k \quad (6.12)$$

$f'_k$  je derivácia aktivačnej funkcie neurónu (sigmoidy) podľa  $\text{net}_k$ . Pre unipolárnu sigmoidu (6.7) je  $f'_k = o_k(1 - o_k)$ . Pre bipolárnu sigmoidu (6.8) je  $f'_k = (1/2)(1 - o_k^2)$ . Pravidlo na zmenu  $j$ -tej vähy  $k$ -teho výstupného neurónu je potom

$$\Delta w_{kj} = \alpha (d_{pk} - o_{pk}) f'_k y_j \quad (6.13)$$

kde  $(d_{pk} - o_{pk}) f'_k = \delta_{ok}$ , čo je zovšeobecnený chybový signál, ktorý sa späťne šíri na všetky vähy prichádzajúce na  $k$ -ty výstupný neurón. Ak by sme položili  $f'_k = 1$ , dostaneme učiace pravidlo pre perceptrón (6.6).

ZOVŠEOBECNÉ  
PRAVIDLO  $\delta$  PRE  
VÄHY VÝSTUPNÝCH  
NEURÓNOV

SKRYTÉ NEURÓNY

Teraz pridáme do našej siete ďalšiu vrstvu neurónov, ktorá sa bude nazývať **skrytá vrstva** alebo **vrstva skrytých neurónov** (obr. 6.6).

Vstup siete je totožný so vstupným vektorom pre skrytú vrstvu  $\bar{x} = (x_1, \dots, x_i, \dots, x_I)$ . Výstupné neuróny spracúvajú výstup skrytej vrstvy  $\bar{y} = (y_1, \dots, y_j, \dots, y_J)$ , kde  $y_j = f(\text{net}_j)$  a

$$\text{net}_j = \sum_{i=1}^I v_{ji} x_i \quad (6.14)$$

$I$ -ty vstup je vždy  $= -1$  ako aj výstup  $J$ -teho skrytého neurónu<sup>3</sup>. Modifikovateľné prahy skrytých neurónov sú  $v_{jl} = \theta_j$ , pre  $j = 1, \dots, J$ .

<sup>1</sup> Gradient skalárnej funkcie, napr. troch premenných  $g(x, y, z)$ , udáva smer najprudšieho náastu jej hodnoty. Vyjadruje to vektor  $\bar{\nabla}g(x, y, z) = \frac{\partial g}{\partial x} \bar{i} + \frac{\partial g}{\partial y} \bar{j} + \frac{\partial g}{\partial z} \bar{k}$ , kde  $\bar{i}, \bar{j}, \bar{k}$  sú jednotkové vektory s v smere jednotlivých osí.

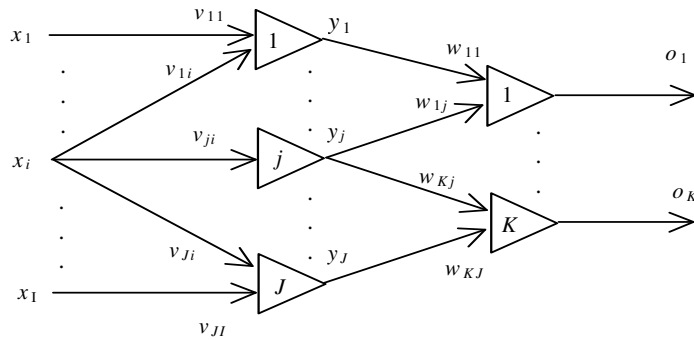
Zložky gradientu sú parciálne derivácie podľa jednotlivých premenných. V našom prípade výpočtu gradientu  $E_p$  budú zložkami parciálne derivácie podľa jednotlivých vah a prahov.

<sup>2</sup>  $E_p$  derivujeme ako zloženú funkciu. Vo všeobecnosti ak máme  $h(z(y(x)))$ , tak  $\partial h / \partial x = (\partial h / \partial z) (\partial z / \partial y) (\partial y / \partial x)$ .

<sup>3</sup> Skutočných vstupov je teda len  $I-1$  a počet skutočných skrytých neurónov je  $J-1$ .  $J$ -ty skrytý neurón je len akási „atrapa“, ktorej výstup slúži pre prahy výstupných neurónov.

**OBR.6.6.**

DVOJVRSTVOVÁ  
DOPREDNÁ UNS



Vzťahy (6.11) až (6.13) popisujú modifikáciu váh medzi skrytou vrstvou a výstupnou vrstvou. Teraz si odvodíme vzťahy pre modifikáciu váh medzi vstupom a skrytou vrstvou. Aj tieto váhy sa musia meniť tak, aby sa minimalizovala chyba  $E_p$  vyjadrená rovnicou (6.10) pomocou gradientovej metódy najprudšieho spádu.

Formula pre modifikáciu vstupných váh  $v_{ji}$  je takáto:

$$\Delta v_{ji} = -\alpha \frac{\partial E_p}{\partial v_{ji}} = -\alpha \frac{\partial E_p}{\partial (\text{net}_j)} \frac{\partial (\text{net}_j)}{\partial v_{ji}} = \alpha \delta_{yj} x_i \quad (6.15)$$

Záporná parciálna derivácia  $-\partial E_p / \partial (\text{net}_j) = \delta_{yj}$ , čo je zovšeobecnený učiaci signál produkovaný  $j$ -tym skrytým neurónom.  $\delta_{yj}$  je zovšeobecnená chyba šírená na vstupné váhy. Parciálna derivácia  $\partial (\text{net}_j) / \partial v_{ji} = x_i$  (pozri rovnicu 6.14). Ďalej si odvodíme, čomu sa rovná  $\delta_{yj}$ :

$$\delta_{yj} = -\frac{\partial E_p}{\partial (\text{net}_j)} = -\frac{\partial E_p}{\partial y_j} \frac{\partial y_j}{\partial (\text{net}_j)} = -\frac{\partial E_p}{\partial y_j} f'_j \quad (6.16)$$

$f'_j$  je derivácia výstupnej funkcie skrytého neurónu (sigmoidy) podľa  $\text{net}_j$ .

$$\frac{\partial E_p}{\partial y_j} = -\sum_{k=1}^K (d_{pk} - o_{pk}) \frac{\partial [f(\text{net}_k)]}{\partial y_j} = -\sum_{k=1}^K (d_{pk} - o_{pk}) \frac{\partial f(\text{net}_k)}{\partial (\text{net}_k)} \frac{\partial (\text{net}_k)}{\partial y_j} \quad (6.17)$$

Ked'že  $f'_k$  je derivácia sigmoidy výstupného neurónu podľa  $\text{net}_k$  a  $\partial (\text{net}_k) / \partial y_j = w_{kj}$  (pozri vzťah 6.9), potom

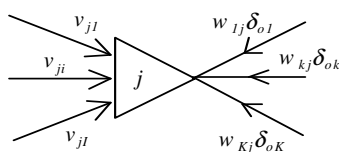
$$\frac{\partial E_p}{\partial y_j} = -\sum_{k=1}^K (d_{pk} - o_{pk}) f'_k w_{kj} = -\sum_{k=1}^K \delta_{ok} w_{kj} \quad (6.18)$$

Dosadením do (6.16) dostávame vzťah pre  $\delta_{yj}$ :

$$\delta_{yj} = \left( \sum_{k=1}^K \delta_{ok} w_{kj} \right) f'_j \quad (6.19)$$

**OBR.6.7.**

SPÄTNÉ ŠÍRENIE  
CHÝB NA SKRYTÝ  
NEURÓN



A nakoniec vzťah pre učenie váh medzi vstupom a skrytými neurónmi:

$$\Delta v_{ji} = \alpha \left( \sum_{k=1}^K \delta_{ok} w_{kj} \right) f'_j x_i \quad (6.20)$$

ZOVŠEOBECNENIE  
PRE  $n$  SKRYTÝCH  
VRSTIEV

Predstavme si, že máme  $n$  skrytých vrstiev. Vo všeobecnosti pre  $n$ -tú skrytú vrstvu platí:

$$\Delta v_{ji}^n = \alpha \delta_{yj}^n x_i^{n-1} \quad (6.21)$$

kde

$$\delta_{yj}^n = \left( \sum_{k=1}^K \delta_{ok}^{n+1} w_{kj}^{n+1} \right) (f_j^n)' \quad (6.22)$$

$(f_j^n)'$  je derivácia aktivačnej funkcie skrytého neurónu  $n$ -tej vrstvy podľa  $net_j^n$ .

ZRÝCHLENIE  
UČENIA

Často používaná metóda na zrýchlenie konvergencie do minima chybovej funkcie je **momentum**:

$$\Delta w_{kj}(t) = \Delta w_{kj}(t-1) + \mu \Delta w_{kj}(t-1) \quad \wedge \quad \Delta v_{ji}(t) = \Delta v_{ji}(t-1) + \mu \Delta v_{ji}(t-1) \quad (6.23)$$

VEĽKOSŤ  $\alpha$  A  $\mu$

kde konštanta  $\mu \in (0, 1)$  sa nazýva momentum alebo momentový člen. Zvyčajne sa volí  $\mu < \alpha$ . Rádovo je zvyčajne veľkosť týchto koštant  $10^{-2}$  a  $10^{-1}$ . Čo sa týka konkrétnych hodnôt, tie sa zistujú experimentálne pre daný problém.

Majme  $A_{train} = \{(\bar{x}^1, \bar{d}^1)(\bar{x}^2, \bar{d}^2) \dots (\bar{x}^P, \bar{d}^P) \dots (\bar{x}^P, \bar{d}^P)\}$ . Potom je algoritmus trénovania doprednej neurónovej siete pomocou spätného šírenia chýb takýto:



KUMULOVANÁ  
CHYBA

**KROK 1:** Zvolíme  $\alpha \in (0, 1)$ . Počiatočné váhy (vrátane prahov) inicializujeme ako malé náhodné čísla<sup>4</sup> napr.  $\in (-0.5, 0.5)$ . Počítadlá a chybu nastavíme takto:  $k = 1, p = 1, E = 0$ . Poradové číslo prechodu cez  $A_{train}$  je  $k$ , index vzoru je  $p$  a  $E$  je kumulovaná chyba:

$$E = \sum_{p=1}^P E_p \quad (6.24)$$

kde  $E_p$  sa počíta podľa (6.10). Zvolíme malé kladné číslo  $\varepsilon$ , ktoré nám bude slúžiť na zastavenie učenia.

**KROK 2:** Na vstup dáme vzor  $\bar{x}^p$  a vypočítame  $\bar{y}^p$  a  $\bar{o}^p$ .

<sup>4</sup> Neexistuje predpis na výber počiatočných váh. Môže sa stať, že sieť je naštartovaná tak, že skončí v lokálnom minime chýby. Vtedy treba začať učenie odznova s novými počiatočnými váhami.

**KROK 3:** Pre každý výstupný neurón vypočítame  $\delta_{ok}$  podľa (6.12) a pre každý skrytý neurón  $\delta_{yj}$  podľa (6.19).

**KROK 4:** Modifikujeme váhy pre výstupné neuróny  $w_{kj} \leftarrow w_{kj} + \alpha \delta_{ok} y_j$  a pre skryté neuróny  $v_{ji} \leftarrow v_{ji} + \alpha \delta_{yj} x_i$ .

**KROK 5:** Ak  $p < P$ , tak polož  $p = p + 1$  a chod' na krok 2. Inak chod' na krok 6.

**KROK 6:** Bez modifikácie váh prejdeme cez  $A_{train}$  a vypočítame kumulovanú chybu  $E$ , ktorá nám povie aká je chyba po jednej epoche učenia. Ak  $E < \varepsilon$ , ukončí učenie. Inak: vzory v  $A_{train}$  premiešaj tak, aby v každej epoche učenia prichádzali v inom náhodnom poradí. Polož  $E = 0$ ,  $p = 1$ ,  $k = k + 1$  a chod' na krok 2. Začína sa nový trénovací cyklus, nová epoха trénovania, t.j. nový prechod cez  $A_{train}$ .<sup>5</sup>

### Dopredná viacvrstvová sieť ako univerzálny approximátor



V tejto časti si povieme aké úlohy rieši dopredná viacvrstvová neurónová sieť trénovaná pomocou spätného šírenia chýb. Tiež sa dozvieme praktické rady ohľadom výberu  $A_{train}$ , výberu počtu skrytých neurónov, ukončenia trénovania atď.

Majme doprednú NS s jedným výstupným neurónom a jednou skrytou vrstvou. Majme  $A_{train} = \{\bar{x}^1, \bar{x}^2, \dots, \bar{x}^P, \dots, \bar{x}^P\}$  tvorenú vstupnými vektorami dimenzie  $I$ .

VETA O  
UNIVERZÁLNEJ  
APROXIMÁCII

Pre  $\forall \varepsilon > 0 \exists$  taká funkcia  $G(\bar{x}) = f\left(\sum_{j=1}^J w_j f\left(\sum_{i=1}^I v_{ji} x_i\right)\right)$ , kde  $w_j$  je váha synapsy

medzi  $j$ -tym skrytým neurónom a výstupným neurónom,  $v_{ji}$  je váha synapsy medzi  $i$ -tym vstupom a  $j$ -tym skrytým neurónom a  $f(z)$  je diferencovateľná aktivačná funkcia. Pre ľubovoľnú spojité funkciu  $F: \mathbb{R}^P \rightarrow (0, 1)$ , ktorá je definovaná nad konečnou množinou  $A_{train}$  platí, že  $\sum_{p=1}^P |F(\bar{x}^p) - G(\bar{x}^p)| < \varepsilon$ .

Hovoríme, že funkcia  $G$  approximuje funkciu  $F$  nad trénovacou množinou  $A_{train}$  s presnosťou  $\varepsilon$  (Hornik et al., 1989).

Táto veta hovorí, že existuje taká dvojvrstvová UNS, ktorá approximuje  $F$  pre  $A_{train}$ . Rovnica (6.10) vyjadruje sumu štvorcov chýb, ktorú učením minimalizujeme. Trénovaním siete upravujeme váhy, ktoré sú vlastne koeficientami polynómu  $G$ , ktorý sieť prekladá cez body dané trénovacou množinou (pozri obr. 6.8). Cieľom je extrapolácia funkčných hodnôt mimo  $A_{train}$ .

<sup>5</sup> Tento algoritmus zodpovedá tzv. inkrementovému učeniu, keď upravujeme váhy po prezentácii každého jedného vstupu. Môže sa použiť aj tzv. "batch" učenie, keď váhy zmeníme až po prechode celou trénovacou množinou. Výsledná zmena váhy je súčtom zmien vyvolaných všetkými vstupnými vzormi.

## GENERALIZÁCIA

čiže predikcia (predpoved) aké budú funkčné hodnoty pre vstupné vektoru, ktoré sieť nikdy nevidela. Táto schopnosť UNS sa volá **zovšeobecňovanie** alebo **generalizácia** (angl. *generalisation*).

## TESTOVANIE

## VALIDÁCIA

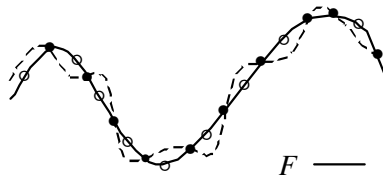
## PREUČENIE

Aby sme túto schopnosť siete mohli testovať, nepoužívame všetky dátu, ktoré máme k dispozícii na trénovanie, ale rozdelíme si ich na *trénovaciu* a *testovaciu* množinu  $A_{train}$  a  $A_{test}$  (plné a prázdne krúžky na obr. 6.8). Testovacia množina sa nazýva aj *validačná* množina. Pomocou  $A_{train}$  modifikujeme váhy a pomocou  $A_{test}$  zistujeme chybu zovšeobecňovania. Pracujeme s kumulovanou chybou  $E$  (6.24) pre  $A_{train}$  aj  $A_{test}$ .

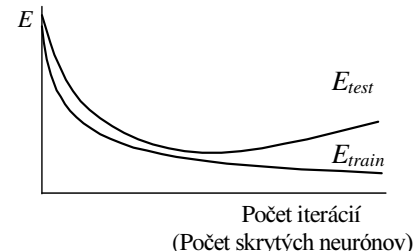
Je dôležité, aby sme dátu správne rozdelili.  $A_{train}$  musí rovnomerne pokrývať daný interval. Zistilo sa, že v priebehu trénovania kumulovaná  $E_{train}$  stále klesá, zatiaľ čo  $E_{test}$  začne od určitého kroku rásť (obr. 6.9). Dochádza k javu, ktorý sa nazýva **preučenie** siete (angl. *overfitting*) alebo pretrénovanie, či premodelovanie dát.

**OBR.6.8.**

APROXIMÁCIA  
FUNKCIE  
POMOCOU UNS

**OBR.6.9.**

VÝVOJ CHYBY  
POČAS  
TRÉNOVANIA

KLASIFIKÁCIA DO  $K$  TRIED

Doprednú neurónovú sieť možno trénovať pomocou metódy spätného šírenia chýb aj na klasifikáciu vzorov do  $K$  tried, ktoré majú nelineárne deliace hranice. Vtedy má sieť  $K$  výstupných neurónov. Napr. pre 3 triedy, požadované výstupné vektory navrhнемe takto:  $\bar{d}^1 = (1,0,0)$ ,  $\bar{d}^2 = (0,1,0)$  a  $\bar{d}^3 = (0,0,1)$ , ak je aktivačná funkcia výstupných neurónov unipolárna sigmoida.

Skutočný výstup musíme nejak interpretovať. Zvyčajne považujeme skutočný výstup za  $= 1$ , keď  $o \geq 0,9$  a za  $= 0$ , keď  $o \leq 0,1$ . Takúto interpretáciu používame pre výpočet počtu chybných výsledkov na  $A_{train}$  a  $A_{test}$ , t.j.  $N_{train}^{error}$  a  $N_{test}^{error}$ . Pod chybným výsledkom rozumieme nesprávne klasifikovaný vzor  $\bar{x}^p$ .

Pri trénovaní na klasifikáciu sledujeme vývoj počtu chybných výsledkov, ale je užitočné sledovať aj vývoj kumulovej chyby (6.24), ktorú počítame pomocou nezaokruhleného výstupu. Na zastavenie učenia môžeme použiť kritérium

$$N_{train}^{error} \leq N_{max}.$$

## „DOÚČANIE“

Ak chceme siet' doučiť novú triedu, musíme trénovanie začať odznova so všetkými triedami. Ak chceme siet' doučiť iba zopár nových vzorov, na ktoré už máme triedu, ale siet' ich nie je schopná správne zovšeobecniť, môžeme ju skúsiť doučiť. Ak sa to nepodarí, musíme začať trénovanie odznova.

ASOCIÁCIA	Pre každý typ úlohy možno vo všeobecnosti povedať, že viacvrstvová dopredná neurónová sieť sa učí asociovať vstupné vektory $\bar{x}^p$ s výstupnými vektorami $\bar{d}^p$ . Skryté neuróny pritom vykonávajú extrakciu príznakov, na základe ktorých je možno objekty rozdeliť do tried. Nevhodou neurónových sietí ako detektorov príznakov je, že obvykle vieme len veľmi ľahko na základe aktivít skrytých neurónov určiť, aké príznaky sietť vlastne extrahovala.
EXTRAKCIA PRÍZNAKOV	
SKORE ZASTAVENIE UČENIA	Užitočnou metódou na zastavenie učenia, keď nevieme dopredu $\varepsilon$ či $N_{max}$ , alebo sa tieto ukazovatele po mnoho iterácií výrazne nemenia, je metóda nazvaná <b>skoré (optimálne) zastavenie</b> (angl. <i>early (optimal) stopping</i> ) (Bishop, 1995):
OPTIMÁLNY POČET SKRYTÝCH NEURÓNOV	<ol style="list-style-type: none"> <li>1. Rozdeľ dátá na 2 neprekryvajúce sa podmnožiny <math>A_{train}</math> a <math>A_{test}</math> (napr. náhodne vyber 75% vzorov do jednej a zvyšok do druhej).</li> <li>2. Po každom trénovacom cykle vypočítaj kumulovanú chybu na trénovacej a testovacej množine <math>E_{train}</math> a <math>E_{test}</math> (respektíve <math>N_{train}^{error}</math> a <math>N_{test}^{error}</math>, keď učíme siet' klasifikovať).</li> <li>3. Zastav učenie, keď <math>E_{test}</math> (resp. <math>N_{test}^{error}</math>) začne rásť.</li> </ol> <p><b>Selekcia modelu</b> (angl. <i>model selection</i>) znamená výber optimálneho počtu skrytých neurónov<sup>6</sup> (Bishop, 1995). Neplatí, že čím viac skrytých neurónov, tým lepšie (pozri obr. 6.9). Zvyčajným postupom je, že určíme chybu zovšeobecňovania <math>E_{test}</math> pre každý model (počet skrytých neurónov) a vyberieme ten model, pre ktorý je <math>E_{test}</math> minimálna. Koretnou štatistickou metódou je <b>vrstvová <math>k</math>-násobná prekrížená validácia</b> (angl. <i>stratified <math>k</math>-fold cross-validation</i>):</p> <ol style="list-style-type: none"> <li>1. Množinu všetkých dát <math>A</math> rozdelíme na <math>k</math> podmnožiny, <math>A_{test}^1, A_{test}^2, \dots, A_{test}^k</math>, ktoré majú nulový prekryv. Zvyčajne <math>k = 10</math>. Je dôležité jednotlivé podmnožiny vyberať tak, aby obsahovali približne také isté kvantitatívne zastúpenie tried ako pôvodná množina <math>A</math>.</li> <li>2. Každý model (počet skrytých neurónov) sa trénuje <math>k</math>-krát, a to na <math>k</math> trénovacích množinách <math>A_{train}^i = A \setminus A_{test}^i</math> pre <math>i = 1, \dots, k</math>. Učenie možno zastaviť podľa metódy skorého zastavenia, keď <math>E_{test}^i</math> začína rásť.</li> <li>3. Po skončení všetkých trénovaní, pre každý model vypočítame „cross“-validačný odhad presnosti klasifikácie tak, že</li> </ol>

$$CV = \frac{1}{k} \sum_{i=1}^k V^i \quad (6.25)$$

pričom pre klasifikačnú úlohu je  $V^i = N_{test}^{error}$ , t.j. počet chybných klasifikácií pre  $i$ -tu testovaciu množinu  $A_{test}^i$ . Pre approximačnú úlohu je  $V^i = E_{test}^i$ .

4. Vyberieme ten model (počet skrytých neurónov), pre ktorý je  $CV$  minimálny.

<sup>6</sup> Ukázalo sa, že pridávanie skrytých vrstiev výrazne nelepšuje výkon doprednej siete. Stačí jedna-dve skryté vrstvy.

Pre každý model môžeme vypočítať strednú kvadratickú odchýlku pre  $CV$  a interval spoľahlivosti.

#### SPRIEMERŇOVANIE

V kontexte aproximácie funkcií i klasifikácie sa ako optimalizovaná aproximácia berie priemer predikcií členov víťazného modelu. Inými slovami, pri zovšeobecňovaní na úplne nové príklady sa nespoliehame iba na jednu sieť, ale berieme do úvahy aj „mienku“ ostatných členiek víťazného modelu (angl. *bagging*).

#### SVOJPOMOCNÝ VÝBER

**Svojpomocný výber** (angl. *bootstrap*) je populárna metóda na konštrukciu  $A_{test}^i$  (Efron and Tibshirani, 1993). Každú  $A_{test}^i$  zostrojíme tak, že z  $A$  vyberieme náhodne (rovnomerná náhodnosť)  $(1/k)$  % prvkov so zámenou (angl. *with replacement*). Náhodný výber so zámenou znamená, že po každom náhodnom výbere vrátme prvok späť, aby mohol poslúžiť pre ďalší výber. Potom sa pozrieme na každú  $A_{test}^i$  a prvky, ktoré obsahuje vylúčime z príslušnej  $A_{train}^i$  tak, že  $A_{train}^i = A \setminus A_{test}^i$  (množinový rozdiel).

### Aplikácie dopredných neurónových sietí trénovaných spätným šírením chýb

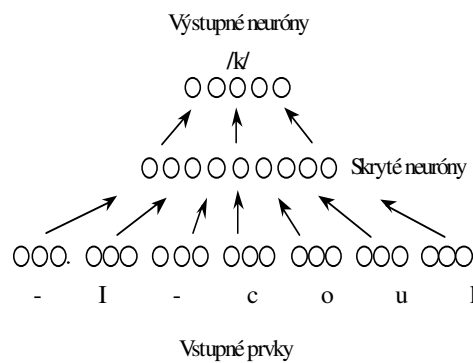
V tejto časti uvádzame najznámejšie prvé aplikácie viacvrstvových dopredných neurónových sietí trénovaných pomocou metódy spätného šírenia chýb, ktoré slúžia ako vzor im podobných aplikácií.

#### NETTALK – ČÍTANIE ANGLICKÉHO TEXTU NAHLAS

Sejnowski a Rosenberg (1987) vytvorili neurónovú sieť NETTalk, ktorá bola schopná čítať písaný anglický text nahlas, za použitia príslušných vstupných a výstupných zariadení. Pritom angličtina patrí medzi tie jazyky, v ktorých je výslovnosť hlásky často viazaná na kontext susedných hlások v slove. Pomerne malá neurónová sieť sa bola schopná naučiť väčšinu pravidelností a mnoho výnimiek z pravidiel výslovnosti. Na obr. 6.10 ilustrujeme použitú architektúru. Šipky indikujú dopredné spojenia každého prvku s každým prvkom v nasledujúcej vrstve. Rýchlosť učenia bola 0,2 a počiatočné váhy z intervalu  $\langle -0,3; 0,3 \rangle$ .

OBR.6.10.

#### ARCHITEKTÚRA NETTALKU



Vstup pozostával zo siedmych skupín, pričom každá skupina kódovala jedno písmeno zo vstupného textu. Každá skupina obsahovala 26 prvkov, ktoré kódovali 26 písmen anglickej abecedy systémom „one-hot-encoding“, teda pre príslušné písmeno len jeden prvak má hodnotu 1, ostatné majú hodnotu 0. V každej skupine boli ešte tri ďalšie

prvky, kódujúce diakritiku a hranice slova.

V skrytej vrstve sa použilo 80 neurónov. Požadovaným výstupom siete bola správna fonéma (zvuková podoba) asociovaná so znakom v strede, t.j. so štvrtým znakom zljava. Vstup teda tvorilo časové okno pozostávajúce zo siedmych znakov, pričom 3 predchádzajúce a 3 nasledujúce znaky predstavovali kontext pre výslovnosť stredného znaku. Text sa posúval cez vstupné okno znak po znaku. V každom kroku, siet vypočítala príslušnú fonému a váhy sa upravili po každom slove, pričom výsledná zmena vás bola súčtom zmien po každej hláske v slove. Chybový signál sa moholšíriť späť len vtedy, keď rozdiel medzi požadovanou a skutočnou hodnotou na výstupe neurónu bol väčší ako 0,1. Vo výstupnej vrstve bolo 23 neurónov, ktoré reprezentovali 23 artikulačných príznakov (znelosť, nazálnosť, frikativnosť, atď.) a 3 dodatočné neuróny, ktoré reprezentovali hranice hlásky a dôraz. Čiže kódovanie vo výstupnej vrstve bolo distribuované a nie lokálne („one-hot“) ako vo vstupnej vrstve.

Autori použili takú interpretáciu výstupu na priradenie do vzorovej fonémy, ktorú nazvali najlepší odhad (angl. *best guess*). Určujúci bol najmenší uhol medzi skutočným a požadovaným výstupným vektorom. Prvá trénovacia množina pozostávala z 1024 slov extrahovaných z detskej reči, kontinuálneho rečového prejavu. Keď bola siet trénovaná na detskej reči, po 50 epochách dosiahla 95%-nú úspešnosť na trénovacej množine a 78%-nú úspešnosť na testovacej množine pozostávajúcej zo 439 nových slov. Autori uvádzajú, že bolo fascinujúce počítať výstup siete počas učenia, ktorý pripominal zrýchlené učenie sa hovoriť u dieťaťa. Ako prvé sa siet naučila diskriminovať medzi samohláskami a spoluľáskami. Avšak, siet substituovala rovnakú samohlásku namiesto všetkých samohlások a rovnako aj so spoluľáskami, takže spočiatku len „blabotala“. Potom sa naučila rozpoznávať hranice slov a produkovala akési pseudoslová. Po 10 epochách sa jej už dalo rozumieť. Najčastejšie chyby boli v rozdieli vo výslovnosti „th“ v takých slovách ako „thesis“ a „these“.

Druhú trénovaciu množinu tvorilo 1000 najčastejšie používaných slov. Po 30 epochách trénovania, siet dosiahla úspešnosť 98% na trénovacej a 90% na testovacej množine (náhodne vybraté iné slová), pri použití 120 neurónov v skrytej vrstve.

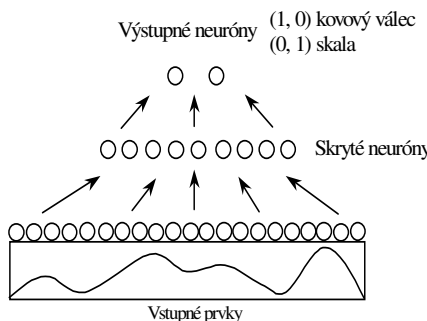
V oboch prípadoch skúsili autori poškodiť synaptické váhy pridaním malého náhodného čísla z intervalu  $\langle -0,5; 0,5 \rangle$ . Nemalo to vplyv na výkon siete. Keď zväčšili poškodenie, siet sa veľmi rýchlo doučila to, čo vedela. V tomto projekte boli skombinované dva rozdielne vývinové procesy: učenie sa hovoriť a učenie sa čítať. Avšak, keď sa dieťa učí čítať, už má úplne naučené fonetické reprezentácie hlások, takže úplne to nie je model ani jedného z týchto procesov. Autori poukazujú, že aj takýto jednoduchý model môže slúžiť ako východisko pre zložitejšie modely, pomocou ktorých by sa dali skúmať dyslexie, poruchy čítania. Umelá neurónová siet sa totiž dá rozličným spôsobom učiť a poškodzovať, pričom možno pozorovať paralely medzi chybami, ktoré vznikajú v sieti a chybami, ktoré produkujú dyslekci.

Ďalším rozšírením modelu by mohlo byť trénovanie siete na odšumenie hovorenej reči. Trénovaciu množinu by tvorili slová, slabiky alebo hlásky, hovorené rozličnými ľuďmi za rozličných podmienok. Požadovanými výstupmi by mohli byť jasne artikulované slová (slabiky, hlásky). Vďaka schopnosti zovšeobecňovať by takýto systém našiel uplatnenie napríklad v telekomunikácii.

#### KLASIFIKÁCIA PODMORSKÝCH SONAROVÝCH SIGNÁLOV

Príkladom na použitie umelej neurónovej siete na klasifikáciu signálov je práca Gormana a Sejnowského (1988), ktorí trénovali doprednú neurónovú sieť na klasifikáciu podmorských sonarových signálov. Úlohou bolo naučiť sa rozlišovať medzi kovovým objektom a prírodným útvaram (skalou). Na obr. 6.11 ilustrujeme použitú architektúru. Rýchlosť učenia bola 0,2 a počiatocné váhy  $\in \langle -0,3; 0,3 \rangle$ .

**OBR.6.11.**  
ARCHITEKTÚRA  
SONAROVÉHO  
KLASIFIKÁTORA



Sonarové signály boli namerané z rôznych uhlov na skutočných objektoch zhruba rovnakej veľkosti. Tieto časové signály sa predspracovali pomocou Fourierovej transformácie, výsledkom ktorej bolo spektrum frekvencií, každá s inou intenzitou.

Spektrum frekvencií sa rozdelilo na 60 rovnakých frekvenčných intervalov a intenzity sa normalizovali do intervalu  $\langle 0; 1 \rangle$ , keďže neuróny mali unipolárnu sigmoidálnu aktivačnú funkciu. Čiže vstup pozostával zo 60 reálnych čísel, výstup mal 2 neuróny kódujúce 2 triedy (pozri obr. 6.11) a sieť mala 24 skrytých neurónov. Množina signálov pozostávala zo 111 príkladov pre válec a 97 príkladov pre skalu. Z týchto sa pre každú sieť vybraло náhodne 16 príkladov na testovanie a zvyšok tvoril trénovaciu množinu. Výsledky sa prezentujú ako priemer z 10 sietí, pričom každá bola inicializovaná inými náhodnými váhami.

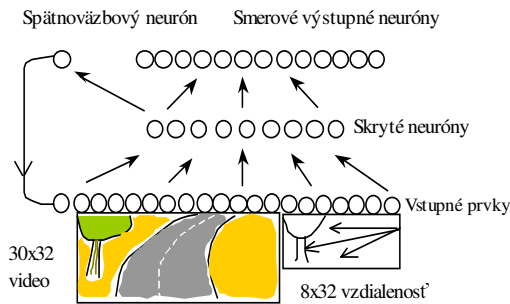
Po 30 epochách trénovania dosiahla sieť 100%-nú úspešnosť na trénovacej množine a 89%-nú úspešnosť na testovacej množine. Výsledky sa porovnali s klasifikáciou na základe  $K$  najbližších susedov (angl. *K-nearest neighbor*) a s výkonom ľudských expertov. Klasifikácia pomocou  $K$  najbližších susedov je založená na spočítaní euklidovskej vzdialenosť medzi testovacím signálom a všetkými signálmi z trénovacej množiny. Hoci obvykle sa používa nepárne  $K$ , napr.  $K = 3$  alebo  $5$ , autori použili  $K = 2$ . Ak dvaja najbližší susedia patria do tej istej triedy, priradí sa tam aj nový signál. Ak každý patrí do inej triedy, rozhodneme sa na základe hodu mincov. Touto metódou sa získala 82,7%-ná úspešnosť na testovacej množine. Človek dosiahol úspešnosť tiež iba 82%. V tomto experimente teda neurónové siete predčili ľudského experta, nebýva to však pravidlom.

**NÓMNE POZEMNÉ  
VOZIDLO**

Network) Pomerleau (1989) nám poskytne predstavu ako neurónovo riadiť pohybujúce sa vozidlá, roboty a pod.

Vstupom do doprednej siete boli kamerou nasnímané obrázky cesty pred vozidlom a signál z laserového detektora vzdialenosť. Výstupom siete bol smer, ktorým sa malo vozidlo vydať, aby sledovalo stredovú čiaru cesty. Vozidlo sa pohybovalo konštantnou rýchlosťou asi 5 km/h. Vstup z kamery predstavoval  $960 = 30 \times 32$  segmentov z nasnímanej cesty v modrej časti svetelného spektra kvôli najväčšiemu kontrastu medzi cestou a „necestou“. Každý vstup číselne vyjadroval intenzitu modrého svetla v danom segmente nasnímaného obrazu. Druhou časťou zloženého vstupu bolo  $8 \times 32$  segmentov vzdialostného obrazu nasnímaného laserovým detektorem vzdialenosť. Vo vstupe sa nachádzal aj prvok, ktorý indikoval, či je cesta v danom momente svetlejšia alebo tmavšia ako necesta v predchádzajúcom kroku. Architektúra siete je znázornená na obr. 6.12.

**OBR.6.12.**  
**ARCHITEKTÚRA**  
„NEURÓNOVÉHO  
ŠOFÉRA“



Teda, 1217 vstupov prichádza na 29 skrytých neurónov. Skryté neuróny sú spojené doprednými väzbami so 46 výstupnými neurónmi. Jeden výstupný neurón zabezpečuje spätnoväzbovú informáciu o svetnej intenzite cesty vzhľadom k necestie a zvyšných 45 neurónov kóduje smer pohybu.

Najvyššia hodnota výstupu stredného neurónu indikuje priamy smer. Neuróny najviac vľavo a vpravo indikujú maximálne zatočenie dol'ava respektíve doprava. Ostatné neuróny reprezentujú diskrétny uhol otočenia medzi nulovým a maximálnym uhlom. Pri trénovaní siete, treba samozrejme sieti poskytnúť informáciu o správnom uhle otočenia vozidla. Trénovacia množina pozostávala z 1200 rozličných snímok cesty, nasnímaných z rozličných uhlov a za rozličných svetelných podmienok (tie boli nasimulované počítačovo). Autor použil skutočné upravené vozidlo so snímačmi na streche a počítačom namiesto šoféra. Keď bolo všetko odladené, stačil polhodinový tréning, aby vozidlo spoľahlivo prešlo aj po nových cestičkách v miestnom parku. Sieti veľmi pomáhalo to, že keď spravila chybu, oprava chyby sa zaradila do jej trénovacej množiny.

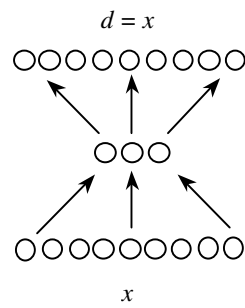
**ROZPOZNÁVANIE  
PÍSMEN A  
KOMPRESIA**

Jeden z neurónových projektov v AT&T Bell Laboratories bol zameraný na rozpoznávanie rukou písaných PSČ (LeCun et al. 1991). Lokalizácia číslíčok na obálke aj ich odlišenie od susedov sa urobilo „ručne“, aj lineárna transformácia zo  $40 \times 60$  pixelov na  $16 \times 16$ . Táto mapa rozličných úrovni šede predstavovala vstup do doprednej siete s tromi skrytými vrstvami. Prvé dve skryté vrstvy obsahovali 12 skupín po  $8 \times 8$  neurónov, ktoré extrahovali príznaky z rozličných častí predchádzajúcich máp. Tretia skrytá vrstva mala 30 neurónov a výstupná vrstva mala 10 neurónov, ktoré kódovali 10 číslíčok systémom „one-hot“. Celkovo

mala sieť 1256 neurónov a 64 660 spojení. Po 23 prezentáciach množiny 7291 skutočných ľudími napísaných číslí, dosiahla sieť úspešnosť 98,6% na trénovacej množine a 95% na testovacej množine pozostávajúcej z 2007 nových číslí. Keď ten istý tréning vykonali so sietou majúcou iba jednu obyčajnú skrytú vrstvu so 40 neurónmi, dosiahli úspešnosť 92% na testovacej množine, čiže zhoršenie iba o 3%. Môže sa to zdať málo, ale v takých prípadoch ako medicínska diagnostika alebo predikcia, môžu aj 3% znamenať veľa. V každom prípade, aj tátó štúdia prakticky ukázala, že veľmi záleží na predspracovaní vstupu pre neurónovú sieť. V súčasnosti sa s väčším úspechom skúšajú rozličné metódy identifikácie nosných príznakov (pozri kapitolu o vnímaní) a vstupom do siete nie je samotný objekt, ale súbor hodnôt relevantných príznakov.

OBR.6.13.

ARCHITEKTÚRA  
„ÚZKE HRDLO“



Jeden zo spôsobov ako extrahovať zo vstupu príznaky (aj keď nevieme aké) a zároveň zredukovať dimenziu vstupu pri zachovaní skoro všetkej informácie, je použiť na predspracovanie neurónovú sieť s architektúrou „úzke hrdlo“ (obr. 6.13). Požadovaným výstupným vektorom je vstupný vektor samotný. V skrytej vrstve použijeme malý počet neurónov a siet trénujeme. Po skončení trénovalia, máme na skrytej vrstve zakódované a skomprimované vstupy. Cottrell et al. (1989) takúto architektúru použili na stratovú kompresiu súborov.

Výhodou umelých neurónových sietí je to, že netreba poznáť formálny model riešeného problému. Namiesto toho stačí vhodne vybrať trénovacia množina a vhodná architektúra siete. Trénovanie pomocou spätného šírenia chýb nastaví parametre (váhy a prahy) siete tak, aby sme dostali akceptovateľné riešenie. K riešeniu sa dá dopracovať simuláciami a experimentovaním namiesto rigorózneho a formálneho prístupu k problému.

### Hranie hier a učenie s odmenou a trestom

UČENIE S  
ODMENOU A  
TRESTOM

Pomocou viacvrstvových dopredných sietí je možné hrať hry. Alebo navigovať robota v teréne. Ide o úlohy takého typu, keď ku každému vstupnému vektoru môže existovať viacero vhodných požadovaných výstupov. Na takéto úlohy sa používa tzv. **učenie s odmenou a trestom**<sup>7</sup> (angl. *reinforcement learning*). Princípom je, že sieti poviem, či jej výstup bol dobrý alebo zlý, ale nepoviem jej aký presne mal byť. Vysvetlíme si účinný **algoritmus TD** a **TD( $\lambda$ )** (TD z anglického *temporal difference*) (Sutton, 1988; Tesauro, 1990).

Nech vstupný vektor  $\bar{x}^{(t)} = (x_1, \dots, x_i, \dots, x_l)$  kóduje pozíciu  $P$  na hracom poli v diskrétnom časovom kroku  $t$ . Pri kódovaní pozície môžme postupovať napr.

<sup>7</sup> Niekedy sa používa aj termín známkované učenie (Oravec et al., 1998). V psychológii sa „reinforcement learning“ prekladá ako posilňovanie.

takto:

$$x_i = \begin{cases} 1 & \text{ak } i\text{-te pole obsahuje vlastnú figúrku} \\ 0 & \text{ak } i\text{-te pole neobsahuje nijakú figúrku} \\ -1 & \text{ak } i\text{-te pole obsahuje súperovu figúrku} \end{cases} \quad (6.26)$$

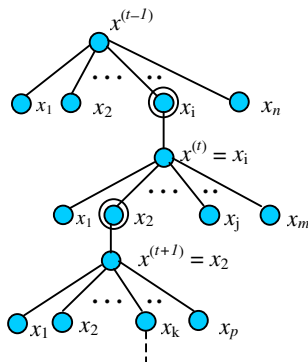
Majme dvojvrstvovú doprednú sieť s jedným výstupným neurónom. Majme sekvenciu pozícii (partiu)  $\bar{x}^{(1)}, \dots, \bar{x}^{(t)}, \dots, \bar{x}^{(T)}$  a tri požadované výstupy siete, ktoré sa nazývajú **odmena** (angl. *reward*):

ODMENA (TREST)

$$r = \begin{cases} 1 & \text{ak sekvencia pozícii vedie k výhre} \\ 0.5 & \text{ak sekvencia pozícii vedie k remíze} \\ 0 & \text{ak sekvencia pozícii vedie k prehre} \end{cases} \quad (6.27)$$

OBR.6.14.

VÝBER ŤAHU -  
ILUSTRÁCIA



Na vstup siete dáme postupne všetky možné ťahy (pozície) a nasledujúci ťah v čase  $t$  vyberieme podľa najväčšej hodnoty skutočného výstupu siete  $o^{(t)}$  (na obr. 6.14 zakrúžkované pozície). Počas učenia sieti predstavujeme stovky (az tisícky) partií. Časť partií viedie k výhre, časť k prehre, respektívne k remíze. Po skončení trénovania vie siet ohodnotiť každú pozíciu v čase  $t$  číslom  $o^{(t)}$ , ktoré je úmerné pravdepodobnosti výhry. Podľa najväčšieho  $o^{(t)}$  sa vyberie ťah v čase  $t$ . Možnosti ťahov na ohodnenie musíme sieti predkladať my, respektívne príslušný algoritmus, sieti ich len ohodnotiť.

Pomocou gradientovej metódy najprudšieho spádu hľadáme optimálne váhy siete, a teda minimum chybovej funkcie:

$$E = \frac{1}{2} \sum_{t=1}^T (r - o^{(t)})^2 \quad (1.28)$$

UČENIE

Symbol  $w$  bude označovať ktorúkoľvek váhu v sieti, aby sme sa vyhli nadbytočnému indexovaniu. Čiže, nech  $w$  označuje aj  $w_{kj}$  aj  $v_{ji}$ . Potom:

$$\Delta w = -\alpha \frac{\partial E}{\partial w} = \alpha \sum_{t=1}^T (r - o^{(t)}) \frac{\partial o^{(t)}}{\partial w} \quad (1.29)$$

Nech  $r = o^{(T+1)}$ . Potom

$$o^{(T+1)} - o^{(t)} = (o^{(T+1)} - o^{(T)}) + (o^{(T)} - o^{(T-1)}) + \dots + (o^{(t+1)} - o^{(t)}) \quad (1.30)$$

Po dosadení do (1.29) dostaneme

$$\Delta w = \alpha \sum_{t=1}^T \left[ \sum_{n=t}^T (o^{(n+1)} - o^{(n)}) \right] \frac{\partial o^{(t)}}{\partial w} \quad (1.31)$$

Preskupením pravej strany získame vzťah

$$\Delta w = \alpha \sum_{t=1}^T (o^{(t+1)} - o^{(t)}) \sum_{n=1}^t \frac{\partial o^{(n)}}{\partial w} \quad (1.32)$$

TD pravidlo hovorí, že pre úpravu ľubovoľnej váhy v sieti, keď má na vstupe pozíciu  $\bar{x}^{(t)}$  platí

**TD PRAVIDLO**

$$\Delta w^{(t)} = \alpha (o^{(t+1)} - o^{(t)}) \sum_{n=1}^t \frac{\partial o^{(n)}}{\partial w} \quad (1.33)$$

TD( $\lambda$ ) je modifikáciou predchádzajúceho vzťahu tak, že

**TD( $\lambda$ ) PRAVIDLO**

$$\Delta w^{(t)} = \alpha (o^{(t+1)} - o^{(t)}) \sum_{n=1}^t \lambda^{t-n} \frac{\partial o^{(n)}}{\partial w} \quad (1.34)$$

kde  $0 < \lambda \leq 1$  je konštanta, ktorej hodnota sa nastavuje experimentovaním. Pre proces učenia a na výber počtu skrytych neurónov platí všetko, čo sme povedali pre UNS trénované na aproximáciu funkcií a klasifikáciu objektov.

Pomocu TD( $\lambda$ ) sa dá hrať backgammon na veľmajstrovskej úrovni (Tesauro, 1990) i dáma (Bahna, 1998). Existuje aj program na šach založený na kombinácii TD( $\lambda$ ) a algoritmu MINIMAX (Baxter et al., 1997). Učenie s odmenou a trestom sa často aplikuje na riadenie robotov, pretože pri trénovaní im netreba presne hovoriť, čo majú robiť, ale len sa známkujú sekvencie ich akcií.

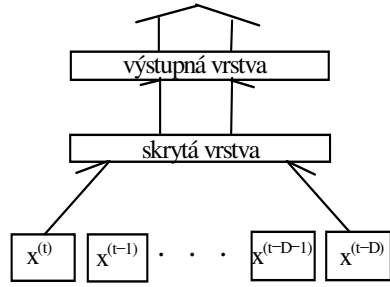
## 6.4 REKURENTNÉ SIETE A ICH UČENIE

**ČASOVÁ  
ŠTRUKTÚRA DÁT**

Predstavme si, že trénovacia množina by obsahovala nasledujúce dvojice:  $a \rightarrow \alpha$ ,  $b \rightarrow \beta$ ,  $b \rightarrow \alpha$ ,  $b \rightarrow \gamma$ ,  $c \rightarrow \alpha$ ,  $c \rightarrow \gamma$ ,  $d \rightarrow \alpha$ , atď, kde jednotlivé znaky predstavujú vstupné a požadované výstupné vektory. K jednému vstupu môže prislúchať viacero výstupov, a to v závislosti na **časovom kontexte**. Inými slovami, o výstupe siete rozhoduje nielen momentálny vstup siete, ale aj doterajšia história predkladaných vzorov. Vrstvová siet' by mala byť rozšírená o možnosť reprezentovať časový kontext. Architektonicky najjednoduchšie riešenie ponúka **neurónová siet' s oknom do minulosti** (angl. *time delay neural network*, TDNN) (obr. 6.15, vrstvy neurónov sú reprezentované obdĺžnikmi). Okno do minulosti má konečnú nemennú dĺžku  $D$ .

OBR.6.15.

NS S OKNOM DO MINULOSTI



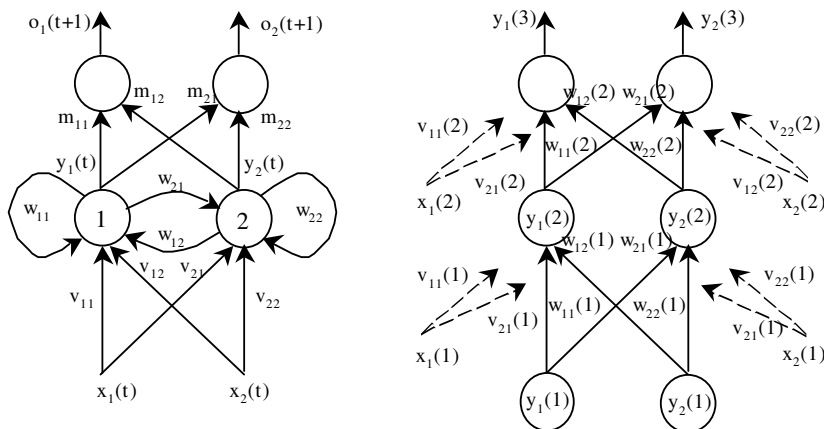
TDNN umožňuje viacvrstvovej doprednej sieti „okno do minulosti“, t.j. okrem momentálneho vstuпу (v čase  $t$ ) „vidí“ sieť ešte aj vstupy z minulých  $D$  krokov (v časoch  $t-1, t-2, \dots, t-D$ ). Takúto sieť je možné trénovať klasickou procedúrou spätného šírenia chýb, pričom je dôležité zachovať poradie trénovacích vzoriek v trénovacej množine.

Ak máme šťastie, aj takéto jednoduché rozšírenie viacvrstvovej architektúry môže postihnúť časovú štruktúru skrytých v trénovacích dátach. Výhodou architektúry TDNN je možnosť trénovania klasickou procedúrou spätného šírenia chýb. Nevýhodou tejto architektúry je, že spôsob reprezentácie časového kontextu pomocou okna do minulosti konečnej nemennej dĺžky nemusí byť dostatočne silný na zvládnutie časovej štruktúry trénovacích dát.

Treba podotknúť, že aj v prípade, keď TDNN je schopná reprezentovať časovo-priestorovú štruktúru dát, nie je jednoduché len na základe trénovacej množiny správne odhadnúť dĺžku  $D$  okna do minulosti. Napriek tomu architektúra TDNN našla uplatnenie v mnohých oblastiach pracujúcich s časovo-priestorovými štruktúrami, napríklad v robotike, rozpoznávaní reči, atď. (Sejnowski a Rosenberg 1987; Weibel, 1989).

SPÄTNÉ ŠÍRENIE CHÝB V ČASE

Na to, aby sme mohli rozšírili svoje možnosti pri spracovaní časových postupností dát na okno do minulosti premenlivej konečnej dĺžky, musíme zaviesť novú architektúru NS a nový pohľad na jej trénovanie. Novou architektúrou je tzv. **rekurentná neurónová sieť** (RNS) (pozri nasledujúci obrázok vľavo). Novým algoritmom trénovania RNS je **spätné šírenie chýb v čase** (angl. *back-propagation through time*, BPTT). Úlohou je natrénovať RNS na klasifikáciu postupností, či patria alebo nepatria do danej množiny postupností. Príkladom môže byť postupnosť signálov z nejakého snímača, ktorá vedie alebo nevedie k poruche, ktorej treba zabrániť. Požadovaný výstup sa sieti poskytne až na konci každej postupnosti (napríklad zapni-nezapni alarm). Jednotlivé postupnosti môžu mať premenlivú dĺžku  $T$ .



Pri BPTT sa RNS rozvíja v čase, t.j. má toľko skrytých vrstiev koľko je vstupov  $T$  v jednej postupnosti. Obrázok vpravo ukazuje rozvinutú sieť pre  $T = 2$ . Nech prvý vstup príde v čase  $t = 1$  a posledný v čase  $t = T$ . Aktivity skrytých neurónov sa na začiatku každej postupnosti v čase  $t = 1$  nastavia na hodnotu 0,5. Takáto rozvinutá RNS sa potom trénuje ako obyčajná dopredná UNS s  $T$  skrytými vrstvami (Rumelhart et al., 1986). V čase  $T+1$  poznáme požadovaný výstup  $d(T+1) \in \{(1,0), (0,1)\}$ , t.j. postupnosť patrí do danej množiny alebo nepatrí. Pri výpočte skutočného výstupu siete používame vzorce

$$o_k^{(T+1)} = f\left(\sum_{j=1}^J m_{kj}^{(T+1)} y_j^{(T+1)}\right) \quad \text{kde} \quad y_j^{(T+1)} = f\left(\sum_{i=1}^I w_{ji}^{(t)} y_i^{(t)} + \sum_{i=1}^I v_{ji}^{(t)} x_i^{(t)}\right)$$

Váhy siete upravujeme až v kroku  $T+1$  a to tak, aby sme minimalizovali chybovú funkciu

$$E(T+1) = \frac{1}{2} \sum_{k=1}^K (d_k^{(T+1)} - o_k^{(T+1)})^2$$

Teda, váhy medzi skrytou a výstupnou vrstvou sa menia podľa vzťahov

$$\Delta m_{kj}^{(T+1)} = -\alpha \frac{\partial E(T+1)}{\partial m_{kj}} = \alpha \delta_k^{(T+1)} y_j^{(T+1)} \quad \text{kde} \quad \delta_k^{(T+1)} = (d_k^{(T+1)} - o_k^{(T+1)}) f'(net_k^{(T+1)})$$

Váhy medzi jednotlivými rozvinutými skrytými vrstvami a medzi vstupom a rozvinutými skrytými vrstvami sa upravujú nasledovne:

$$\Delta w_{hj}^{(T)} = -\alpha \frac{\partial E(T+1)}{\partial w_{hj}} = \alpha \delta_h^{(T)} y_j^{(T)} \quad \text{kde} \quad \delta_h^{(T)} = \left( \sum_{k=1}^K \delta_k^{(T+1)} m_{kh}^{(T+1)} \right) f'(net_h^{(T)})$$

$$\Delta v_{ji}^{(T)} = -\alpha \frac{\partial E(T+1)}{\partial v_{ji}} = \alpha \delta_j^{(T)} x_i^{(T)} \quad \text{kde} \quad \delta_j^{(T)} = \left( \sum_{k=1}^K \delta_k^{(T+1)} m_{kj}^{(T+1)} \right) f'(net_j^{(T)})$$

$$\Delta w_{hj}^{(T-1)} = -\alpha \frac{\partial E(T+1)}{\partial w_{hj}} = \alpha \delta_h^{(T-1)} y_j^{(T-1)} \quad \text{kde} \quad \delta_h^{(T-1)} = \left( \sum_{j=1}^J \delta_j^{(T)} w_{jh}^{(T)} \right) f'(net_h^{(T-1)})$$

$$\Delta v_{ji}^{(T-1)} = -\alpha \frac{\partial E(T+1)}{\partial v_{ji}} = \alpha \delta_j^{(T-1)} x_i^{(T-1)} \quad \text{kde} \quad \delta_j^{(T-1)} = \left( \sum_{h=1}^J \delta_h^{(T)} w_{hj}^{(T)} \right) f'(net_j^{(T-1)})$$

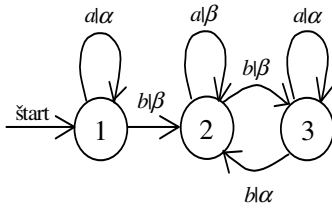
atď. Výsledné zmeny váh na konci postupnosti sú rovné

$$\Delta w_{hj}^{(T+1)} = \frac{\sum_{t=1}^T \Delta w_{hj}^{(t)}}{T} \quad \text{a} \quad \Delta w_{ji}^{(T+1)} = \frac{\sum_{t=1}^T \Delta w_{ji}^{(t)}}{T}$$

Pre každú novú postupnosť s inou dĺžkou  $T$ , začíname proces rozvíjania a trénovania siete odznova. Neuróny môžu mať aj adaptovateľné prahy.

OBR.6.16.

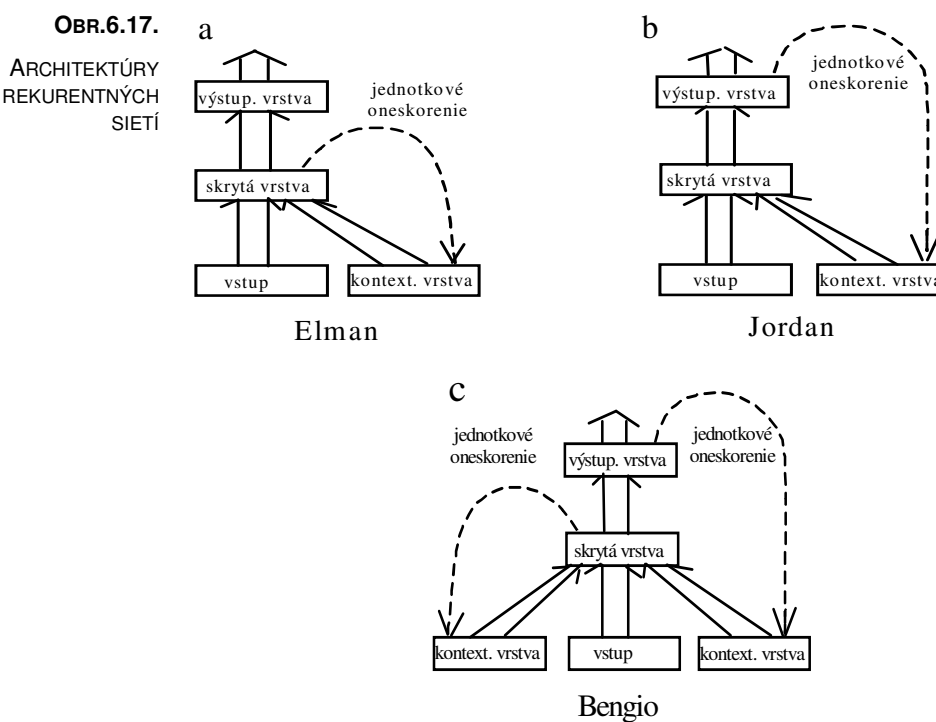
MEALYHO AUTOMAT



Príkladom, kedy nemusí ani TDNN ani BPTT stačiť na postihnutie časovej štruktúry dát sú postupnosti generované automatmi (obr. 6.16). Stavy automatu kódujú historiu vstupných vektorov tak, aby sme mohli vždy bez váhania odpovedať aký bude asociovaný výstup k danému vstupu pri danej histórii predkladaných vstupov.

STAVOVÁ  
REPREZENTÁCIA

Takáto **stavová reprezentácia časového kontextu** predkladaných vzoriek môže byť omnoho úspornejšia ako reprezentácia časového kontextu pomocou okna do minulosti a niekedy aj nevyhnutná. Môže sa totiž stať, že by sme potrebovali neobmedzene dlhé okno do minulosti. Ak by sme boli v stave 1 automatu na obr. 6.15, môže približne ľubovoľný počet vstupov  $a$  a asociovaný výstup je  $\alpha$ . To isté patrí aj o stav 3. Podstatný rozdiel je však vo výstupe asociovanom so vstupom  $b$ . Ten je  $\beta$ , v prípade stavu 1 a  $\alpha$  v prípade stavu 3. Nie je možné zvolať žiadne konečné  $D$  alebo  $T$  tak, aby za každých okolností bolo možné na základe minulých vstupov rozhodnúť o výstupe asociovanom k vstupu  $b$ . Zrejme pre úplné zovšeobecnenie trénovacej množiny reprezentujúcej časovo-priestorovú štruktúru popísanú automatom na obr. 6.16 bude architektúra TDNN nevyhovujúca, takisto ako aj RNS trénovaná pomocou BPTT.



#### REKURENTNÉ NEURÓNOVÉ SIETI

Ukázalo sa, že isté typy RNS (obr. 6.17) sú schopné vytvoriť si stavovú reprezentáciu časového kontextu v dátach (Tiňo and Šajda, 1995). Vo všeobecnosti možno za rekurentnú sieť považovať akúkoľvek NS, v ktorej si istá podmnožina neurónov (**rekurentné neuróny**) uchováva informáciu o svojich aktiváciách v predošlých časoch. Hodnoty, ktoré boli na výstupe rekurentných neurónov v čase  $t+1$  sa prekopírujú na **kontextové neuróny** a pripojia sa k vstupnému vektoru v čase  $t$  (pozri obr. 6.17). Toto kopírovanie sa deje s tzv. jednotkovým oneskorením. Neurónové siete sa takto rozširuje o *vnútornú pamäť*.

Podobne ako v tradičných dopredných neurónových sietiach, v rámci jednej vrstvy nie sú neuróny navzájom prepojené. Dvojité šípky reprezentujú spojenia z každého neurónu spodnej vrstvy do každého neurónu hornej vrstvy. Tieto spojenia majú váhy, ktoré sa modifikujú počas trénovacieho procesu. Jednoduché šípky predstavujú **rekurentné spojenia** medzi zodpovedajúcimi neurónmi východiskovej a cieľovej vrstvy. Rekurentné spojenia majú nemennú váhu 1. Existujú len medzi  $i$ -tym neurónom rekurentnej a  $i$ -tym neurónom kontextovej vrstvy. Funkcia rekurentných spojení je odpamätanie aktivácií rekurentných neurónov a ich zavedenie do kontextových neurónov s jednotkovým časovým oneskorením. Architektúru na obr. 6.17a navrhoval Elman (1990). Kontextová vrstva obsahuje kópie aktivácií skrytych neurónov z predošlého kroku. Autorom siete 6.17b je Jordan (1989). Obr. 6.17c predstavuje kombináciu predchádzajúcich modelov (Bengio et al., 1990).

**REKURENTNÉ  
UČENIE V  
REÁLNOM ČASE**

RNS sa trénujú na predikciu nasledujúceho požadovaného vektora pomocou metódy známej ako **rekurentné učenie v reálnom čase** (angl. *real time recurrent learning*, RTRL) (Williams and Zipser, 1989). Uvedieme hlavné rovnice tohto postupu, a to pre Elmanovu rekurentnú sieť ilustrovanú na obr. 6.17a. Táto architektúra sa volá jednoduchá rekurentná sieť (angl. *simple recurrent network*, SRN).

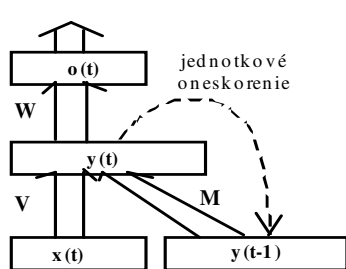
V čase  $t$  je na vstupe vektor  $\bar{x}^{(t)} = (x_1^{(t)}, x_2^{(t)}, \dots, x_I^{(t)})$ , skutočný výstup siete je vektor aktivácií výstupných neurónov  $\bar{o}^{(t)} = (o_1^{(t)}, o_2^{(t)}, \dots, o_K^{(t)})$  a požadovaný výstup je  $\bar{d}^{(t)} = (d_1^{(t)}, d_2^{(t)}, \dots, d_K^{(t)})$ . Definujeme chybovú funkciu ako

$$E^{(t)} = \frac{1}{2} \sum_{k=1}^K (d_k^{(t)} - o_k^{(t)})^2 \quad (6.35)$$

Jednotlivé váhy upravujeme „on-line“, t.j. v každom kroku  $t$ , proporcionalne k negatívnomu gradientu  $E^{(t)}$ :

$$\Delta w_{kj}^{(t)} = -\alpha \frac{\partial E^{(t)}}{\partial w_{kj}} \quad \Delta v_{ji}^{(t)} = -\alpha \frac{\partial E^{(t)}}{\partial v_{ji}^{(t)}} \quad \Delta m_{jl}^{(t)} = -\alpha \frac{\partial E^{(t)}}{\partial m_{jl}^{(t)}} \quad (6.36)$$

Pri výpočte týchto derivácií treba brať do úvahy časové vzťahy vo vnútri siete (Kvasnička et al., 1997). Ako vidíme, podstata učenia je opäť spätné šírenie chýb, v ktorom sa teraz odraža nielen priestorová štruktúra dát, ale aj časová.



Elman

Výstupy neurónov sú

$$o_k^{(t)} = f(\text{net}_k^{(t)}) = f\left(\sum_{j=1}^J w_{kj} y_j^{(t)}\right) \text{ a}$$

$$y_j^{(t)} = f(\text{net}_j^{(t)}), \text{ kde}$$

$$\text{net}_j^{(t)} = \sum_{i=1}^I v_{ji} x_i^{(t)} + \sum_{i=1}^J m_{ji} y_i^{(t-1)}.$$

Váhy medzi skrytou (rekurentnou) a výstupnou vrstvou sa upravujú ako pre doprednú NS (rovnica 6.13), teda

$$\Delta w_{kj}^{(t)} = \alpha \delta_k^{(t)} y_j^{(t)} = \alpha (d_k^{(t)} - o_k^{(t)}) f'_k(\text{net}_k^{(t)}) y_j^{(t)}$$

Pre časovú zmenu váh medzi vstupom a skrytou (rekurentnou) vrstvou, a medzi kontextovou a rekurentnou vrstvou platí

$$\Delta v_{ji}^{(t)} = \alpha \sum_{k=1}^K \left[ \delta_k^{(t)} \sum_{h=1}^J w_{kh} \frac{\partial y_h^{(t)}}{\partial v_{ji}^{(t)}} \right] \text{ resp. } \Delta m_{ji}^{(t)} = \alpha \sum_{k=1}^K \left[ \delta_k^{(t)} \sum_{h=1}^J w_{kh} \frac{\partial y_h^{(t)}}{\partial m_{ji}^{(t)}} \right]$$

kde

$$\frac{\partial y_h^{(t)}}{\partial v_{ji}} = f'(net_h^{(t)}) \left[ x_i^{(t)} \delta_{jh}^{Kron.} + \sum_{l=1}^J m_{hl} \frac{\partial y_l^{(t-1)}}{\partial v_{ji}} \right]$$

$$\frac{\partial y_h^{(t)}}{\partial m_{ji}} = f'(net_h^{(t)}) \left[ x_i^{(t)} \delta_{jh}^{Kron.} + \sum_{l=1}^J m_{hl} \frac{\partial y_l^{(t-1)}}{\partial m_{ji}} \right]$$

kde  $\delta_{jh}^{Kron.}$  je Kroneckerova delta, pre ktorú platí  $\delta_{jh}^{Kron.} = 1$ , ak  $j=h$ , a inak,  $\delta_{jh}^{Kron.} \neq 1$ . Počas trénovania je užitočné sledovať veľkosť šírených chýb, pretože tieto smerom do minulosti klesajú k nule. Vtedy treba ich šírenie zastaviť.

Rekurentné neurónové siete (RNS) sa používajú na tri typy úloh:

#### KLASIFIKÁCIA S ČASOVÝM KONTEXTOM

**I.** RNS má rozhodnúť, či práve ukončená postupnosť vstupov patrí do nejakej triedy, alebo nie, poprípade do ktorej z možných tried patrí. Sem možno zaradiť napríklad klasifikáciu postupností symbolov z nejakej konečnej abecedy. Požadovanými výstupmi by boli výstupné symboly automatu. Ďalším príkladom môže byť, či postupnosť nejakých signálov viedie k poruche zariadenia, alebo nie, respektíve k akej poruche. Požadovanými výstupmi pri trénovaní by boli zakódované indikátory stavu zariadenia.

#### PREDIKCIA

**II.** Úlohou je na základe časovej štruktúry v postupnosti dát pred časom  $t$  predpovedať dátu po čase  $t$ . Napríklad pri trénovaní na predpoved' (predikciu) nasledujúceho člena postupnosti je trénovacia množina  $A_{train} = \{(\bar{x}^{(t)}, \bar{x}^{(t+1)})\}_{t=0}^T$ .

Vo všeobecnosti, na predikciu údaju v čase  $t+\tau$  je  $A_{train} = \{(\bar{x}^{(t)}, \bar{x}^{(t+\tau)})\}_{t=0}^T$ . Na trénovanie predikcie na netriviálnych postupnostiach potrebujeme postupnosti, ktoré majú tisícky až desaťtisícky údajov. Tiež sa opäť nepracovať priamo s reálnymi hodnotami, ale zakódovať ich na symboly, ktoré odrážajú relatívne kvantitatívne zmeny nahor a nadol.

#### GENEROVANIE POSTUPNOSTI

**III.** Tretí typ úloh je komplikovanejšia verzia predikčných úloh. Tentoraz nejde len o predikovanie hodnoty dát v niektorom budúcom čase. Na základe pozorovania určitého úseku vývoja dát je úlohou *pokračovať* v časovom rade dát zohľadňujúc základnú tendenciu dát skrytú v dostupnom úseku. Napríklad, ak by sme pozorovali úsek dát: 23123123123123... zrejmé pokračovanie by bolo 123123123... V reálnych úlohách však časová štruktúra dát môže byť omnoho zložitejšia než prírsna periodicitu časového radu. Samotné generovanie pokračovania úseku časovej rady sa môže realizovať napríklad týmto spôsobom: Po predložení dostupného úseku dát (do času  $t$ ), sieť vygeneruje predikciu možnej hodnoty dát v nasledujúcom čase  $t+1$ . Táto predikcia sa priradí k pôvodnému úseku a na základe takto vytvoreného nového úseku dát vygenerujeme predikciu pre čas  $t+2$ , atď.

## RNS a iteračné funkčné systémy

V tejto časti si vysvetlíme, ako je možné, že RNS sú schopné využívať históriu vstupov na predikciu budúceho vývoja postupnosti. Sústredíme sa na analýzu aktivít rekurentných neurónov, napríklad v architektúre RNS Elmanovho typu (obr. 6.17a). Vektor aktivít rekurentných neurónov si môžeme predstaviť ako bod v  $J$ -rozmernom priestore, tzv. stavovom priestore RNS. Ukážeme si, že RNS je schopná previesť časovú štruktúru v dátach na priestorovú fraktálovú štruktúru vo svojom stavovom priestore. Na to využijeme tzv. teóriu funkčných systémov (angl. *iterated function systems*, IFS) (Barnsley 1988).

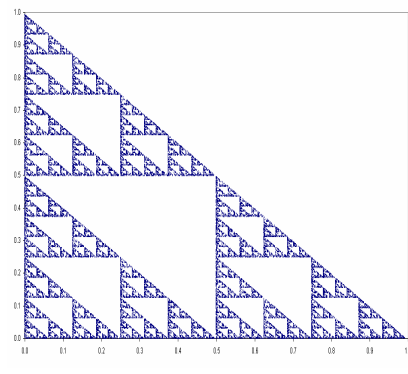
IFS

Definícia: **Iteračný funkčný systém** (IFS) je konečná množina kontraktívnych transformácií  $\Omega = \{\omega_i \mid \omega_i : X \rightarrow X, i \leq n\}$ .

Nech  $X = \langle 0,1 \rangle$ . Majme jednu jedinú kontraktívnu transformáciu  $\omega$ , napr.  $\omega(x) = 0,5x + 0,5$ . Limitné správanie jednej kontraktívnej transformácie, teda jej aplikácia  $n \rightarrow \infty$  krát na ľubovoľný počiatocný bod, viedie k jednému jedinému bodu v  $X$ , ktorý nazývame atraktor typu fixný bod. (V našom malom príklade by to bol bod 1.) Limitná množina bodov zjednotenia viacerých rôznych transformácií môže predstavovať zložitú priestorovú štruktúru. Limitná množina zloženého IFS sa nazýva **IFS atraktor**. Pre každý bod IFS atraktora definujeme tzv. IFS adresu. Táto adresa zodpovedá nekonečnej postupnosti transformácií, ktorá nás k nemu doviedla.

IFS ATRAKTOR

Sierpinského trojuholník

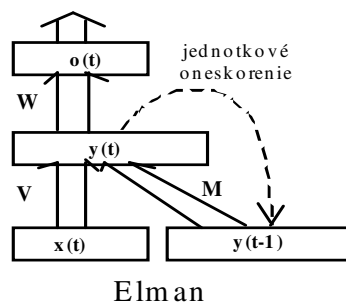


Príkladom IFS je sústava týchto troch transformácií v priestore  $X = \langle 0,1 \rangle^2$ :

$$\begin{aligned}\omega_1(x,y) &= (0.5x + 0.5, 0.5y) \\ \omega_2(x,y) &= (0.5x, 0.5y + 0.5) \\ \omega_3(x,y) &= (0.5x, 0.5y)\end{aligned}$$

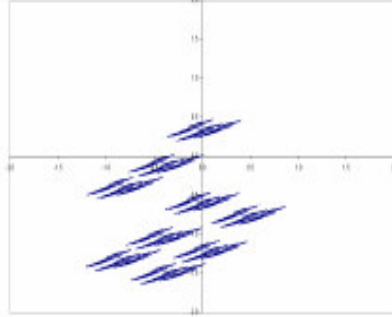
Limitná množina každej tejto transformácie aplikovanej jednotlivo je bod v rohu stavového priestoru  $X$  (t.j.  $\omega_1 \rightarrow (1,0)$ ,  $\omega_2 \rightarrow (0,1)$ ,  $\omega_3 \rightarrow (0,0)$ ). Limitná množina kompozície všetkých troch zobrazení je **samopodobná štruktúra** – **fraktál** známy ako Sierpinského trojuholník.

## RNS AKO IFS



Majme konečnú vstupnú abecedu, napr.  $A = \{a,b,c\}$ . Každý symbol je zakódovaný pomocou „one-hot“ kódovania, teda  $a = (1,0,0)$ ,  $b = (0,1,0)$ ,  $c = (0,0,1)$ . Stavovú rovnicu RNS môžeme prepísať ako  $\bar{y}^{(t)} = f(\mathbf{M}_x \cdot \bar{y}^{(t-1)})$ , kde matica váh  $\mathbf{M}_x$  je transformačná matica aplikovaná na predchádzajúci stav siete po príchode konkrétneho symbolu  $\bar{x}$ . Inými slovami, IFS transformácie sú reprezentované váhovými maticami  $\mathbf{M}_x$  ( $x = a,b,c$ ) a špecifický vstupný vektor vyberie, ktorá transformácia sa aplikuje na predchádzajúci stav. Vstupný symbol predstavuje index transformácie.

## FRAKTÁL



Vráťme sa teraz k pojmu IFS adresy. Uvažujme nasledujúcu sústavu IFS transformácií nad priestorom  $X = \langle 0,1 \rangle^2$

$$\begin{aligned}\omega_a(x, y) &= (0.5x + 0.5, 0.5y) \\ \omega_b(x, y) &= (0.5x, 0.5y + 0.5) \\ \omega_c(x, y) &= (0.5x, 0.5y) \\ \omega_d(x, y) &= (0.5x + 0.5, 0.5y + 0.5)\end{aligned}$$

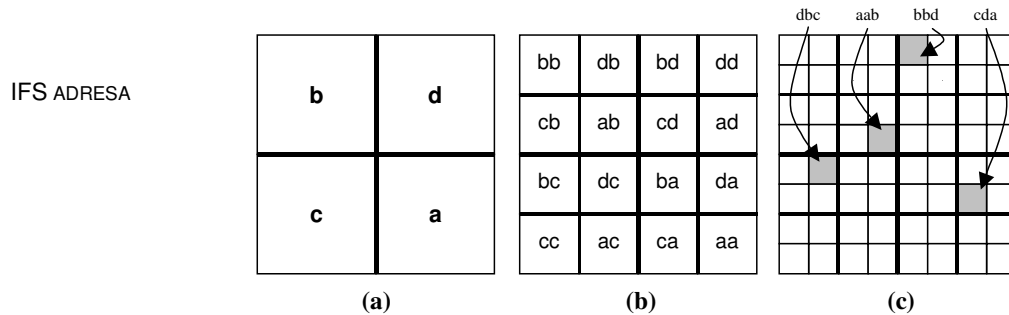
Atraktorom štvrej transformácie je bod  $(1,1)$ . Každá z týchto transformácií kontrahuje priestor  $X$  na štvrtinovú kópiu originálu vo svojej štvrtine štvorca (pozri nasledujúci obrázok prevzatý z Čerňanský 2001).

Správanie RNS pri spracovaní postupnosti symbolov sa dá vysvetliť pomocou IFS. Vnútorná dynamika (= časový vývoj aktivít rekurentných neurónov) sa riadia podľa rovnice

$$\bar{y}^{(t)} = f(\mathbf{M} \cdot \bar{y}^{(t-1)} + \mathbf{V} \cdot \bar{x}^{(t)})$$

Vstupný vektor je  $\bar{x}$ , stavový vektor je  $\bar{y}$ .  $\mathbf{M}$  a  $\mathbf{V}$  sú matice váh a  $f$  je aktivačná funkcia. Výstupná vrstva nás zatiaľ nezaujíma.

Z povedaného vyplýva, že aj nenatrénované RNS inicializované malými náhodnými váhami sa správajú ako IFS (Kolen 1994). Tento jav sa nazýva architekturný bias RNS (Tiňo et al. 2002). Môžeme očakávať, že v stavovom priestore sa vytvorí zaujímavá priestorová štruktúra odrážajúca časovú štruktúru konkrétej postupnosti symbolov, aj keď je siet nenaucená (pozri obrázok vľavo, prevzatý z Čerňanský 2001).



Ak by sme mali nekonečnú presnosť<sup>2</sup>, pozícia každého bodu v stavovom priestore by bola jednoznačne určená postupnosťou transformácií, ktorá k nemu viedla (v opačnom poradí smerom do minulosti). IFS adresa bodu v IFS atraktore je nekonečná postupnosť indexov transformácií, ktoré mapujú priestor  $X$  práve do tohto bodu. Prvý index IFS adresy zodpovedá poslednému symbolu, ktorý prišiel na vstup siete, druhý index predposlednému symbolu, atď<sup>2</sup>.

#### HISTÓRIA SYMBOLOV

Podobné podpostupnosti trénovacej (resp. testovacej postupnosti) symbolov vedú k priestorovo blízkym bodom v IFS atraktore. Čím je dlhší spoločný sufíx, tým budú ich body v stavovom priestore bližšie. Často sa vyskytujúce podpostupnosti so spoločnými sufíxmi v stavovom priestore vytvárajú klastre. Klastrováním stavového priestoru RNS dostávame klastre, v ktorých sú body odrážajúce podobnú história symbolov. Podobná história symbolov (časový kontext) viedie k podobnému pokračovaniu postupnosti. Táto skutočnosť sa využíva na budovanie predikčných modelov. Keďže však nemáme k dispozícii nekonečnú presnosť, môžeme budovať iba predikčné modely s konečnou pamäťou.

#### TRÉNOVANIE RNS

Na tomto mieste právom vzniká otázka, aký zmysel má potom trénovanie RNS, keď sa vďaka architekturnemu biasu časová štruktúra trénovacej postupnosti premietne do priestorovej štruktúry IFS atraktora aj v nenaučenej sieti. Po prve, trénovaním sa výstupná vrstva učí asociovať história symbolov (klaster blízkych bodov v stavovom priestore) s nasledujúcim symbolom (ak používame RTRL). Po druhé, čo je dôležitejšie, učením sa lepšie zorganizuje stavový priestor, resp. body v IFS atraktore, čím sa umožní lepšia predikcia pokračovania postupnosti dát v budúcnosti. V prípade trénovania RNS na slovách generovaných konečno-stavovými automatmi sa zistilo, že v stavovom priestore RNS z pôvodného veľkého počtu klastrov vznikne práve toľko klastrov, koľko je stavov automatu (Tiňo and Šajda 1995). Keďže je ľahšie spracovávať symbolové postupnosti, reálne postupnosti dát sa obvykle kvantizujú na postupnosti niekoľkých symbolov, ktoré vyjadrujú relatívny pokles alebo nárast hodnoty sledovanej veličiny.

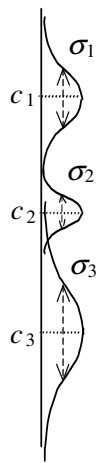
## 6.5 RBF SIETE A ICH UČENIE

### RADIÁLNA BÁZOVÁ FUNKCIA

V tejto časti si predstavíme tzv. RBF siete, ktoré majú všetky výpočtové schopnosti klasických dopredných vrstvových UNS tréovaných s učiteľom, ale ich trévanie je podstatne rýchlejšie (Bishop, 1995). RBF siete sú také, v ktorých je aktivačou funkciou skrytých neurónov tzv. **radiálna bázová funkcia** (angl. *radial basis function, RBF*) (Bishop, 1995; Oravec et al., 1998). Najčastejšie sa používa gaussovská funkcia. Výstup  $n$ -teho výstupného neurónu je lineárny, t.j.

OBR.6.18.

ILUSTRÁCIA RBF NA SKRYTEJ VRSTVE



$$o_n = \sum_{j=1}^k w_{nj} \phi_j \quad (6.35)$$

Čiže celkovo máme  $k$  skrytých neurónov. Výstup  $j$ -teho skrytého neurónu je gaussovská funkcia

$$\phi_j(\bar{x}) = \exp\left(-\frac{\|\bar{x} - \bar{c}_j\|^2}{\sigma_j^2}\right) \quad (6.36)$$

kde  $\sigma_j$  je šírka gaussiánu prislúchajúceho  $j$ -temu neurónu,  $\|\bar{x} - \bar{c}_j\|$  vyjadruje euklidovskú vzdialenosť medzi vstupným vektorom  $\bar{x}$  a centrom gaussiánu  $\bar{c}_j$ . Obr. 6.18 ilustruje tri gaussiány s rôznymi centrami a šírkami. Trévanie RBF sietí prebieha v troch krokoch:



**I. Určenie centier  $\bar{c}_j$  skrytých neurónov (RBF prvkov).** Je dôležité, aby centrá vystihovali štruktúru vstupných dát. Určujeme ich na základe všetkých  $\bar{x}^p \in A_{train}$ , pričom  $A_{train} = \{(\bar{x}^1, \bar{d}^1), (\bar{x}^2, \bar{d}^2), \dots, (\bar{x}^P, \bar{d}^P)\}$ . Používajú sa na to klastrovacie metódy, napr.  $k$ -priemerovací klastrovací algoritmus (angl. *k-means clustering algorithm*), ktorý hľadá minimum celkovej sumy vzdialostí medzi centrami  $\bar{c}_j$  a bodmi  $\bar{x}^p$ , ktoré patria do ich klastrov. Samotný algoritmus je takýto:

- 1) Najprv zvolíme  $k$ , t.j. počet centier a zároveň i počet RBF prvkov. Zvyčajne  $k = 40 \div 60$ . Optimálny počet sa musí nájsť experimentovaním.
- 2) Náhodne vyberieme  $k$  vstupných vektorov  $\bar{x}^p \in A_{train}$ , ktoré budú našimi štarovacími centrami.
- 3) V čase  $t$  urobíme toto:
  - a) Nájdeme centrum  $\bar{c}_j(t)$ , ktoré je najbližšie k vstupu  $\bar{x}^p(t)$ .

b) Posunieme centrum  $\bar{c}_j(t)$  ku  $\bar{x}^p(t)$  podľa vzťahu:  $\bar{c}_j(t+1) = \bar{c}_j(t) + \rho(t)\|\bar{x}^p(t) - \bar{c}_j(t)\|$ , kde  $0 \leq \rho(t) \leq 1$ . Zvyčajne má na začiatku veľkú hodnotu a postupne klesá k nule. Alebo môžeme hľadanie centier zastaviť tak, že v nasledujúcich krokoch po sebe sa ich poloha mení menej ako nejaké malé  $\varepsilon = 10^{-3}$ . Cez  $A_{train}$  prechádzame dovtedy, pokiaľ nie je táto podmienka splnená.

**II. Určenie širok RBF funkcií.** Šírky  $\sigma_j$  funkcií  $\phi_j$  ovplyvňujú generalizačné schopnosti siete. Čím sú menšie, tým horšie zovšeobecňovanie sa dá očakávať. Avšak ani príliš veľký prekryv medzi susednými gaussiánmi nie je dobrý. Môžeme ich nastaviť pre všetky RBF prvky rovnaké. Alebo ich môžeme vypočítať podľa:  $\sigma_j = \sqrt{(1/L) \sum_{l=1}^L \|\bar{c}_j - \bar{c}_l\|^2}$ , kde  $L$  je počet najbližších susedov.

**III. Učenie váh výstupných neurónov.** Tieto váhy sa učia pomocou spätného šírenia chyby, teda  $\Delta w_{nj} = -\alpha(\partial E / \partial w_{nj})$ , kde  $E$  je chybová funkcia (6.10). Váhy meníme až po nájdení  $\bar{c}_j$  a  $\sigma_j$ .

#### VÝHODY RBF SIETÍ

Dopredné vrstvové RBF siete dokážu rovnako dobre vykonávať všetky typy úloh ako neurónové siete, v ktorých majú neuróny sigmoidálnu aktivačnú funkciu. Sú tiež univerzálnymi aproximátormi funkcií. Centrá a rozptyly radiálnych bázových funkcií sa určujú principiálne odlišne ako váhové koeficienty výstupných neurónov. Trénovanie RBF sietí je rýchlejšie ako pri klasických sigmoidálnych dopredných neurónových sieťach a nie je citlivé na poradie vstupných vzorov. RBF prvky sa dajú použiť aj v rekurentných neurónových sieťach.

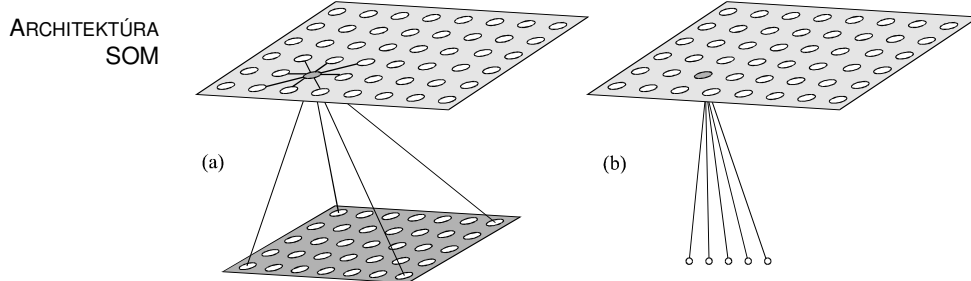
## 6.6 SOM – SAMOORGANIZUJÚCA SA MAPA

**SamoOrganizujúca sa Mapa** (SOM) je názov neurónovej siete, v ktorej prebieha **učenie bez učiteľa** (angl *unsupervised learning*). To znamená, že jej algoritmus učenia nemá informáciu o požadovaných aktivitách výstupných neurónov v priebehu trénovalia (Kohonen 1995). Adaptácia váh prebieha len na základe trénovacej množiny, ktorá je sieti prezentovaná vo forme vstupných vzorov (vektorov), s binárnymi alebo reálnymi zložkami. Architektúra<sup>8</sup>, ale hlavne spôsob učenia SOM sú v súlade s neurobiologickými poznatkami týkajúcimi sa mozgovej kôry živočíchov.

<sup>8</sup> Aj predchádzajúce architektúry NS sa nachádzajú v nervovom systéme živočíchov.

Na obr. 6.19a je znázornená jedna z principiálnych organizácií biologických NS. Spodná mriežka, tzv. vrstva receptorov, reprezentuje vstup. Každá zložka vstupu, každý receptor, vysiela dopredné spojenia na všetky neuróny, ktoré sú usporiadane len v jednej vrstve, ktorá reprezentuje napríklad mozgovú kôru. Aktivity neurónov predstavujú výstup siete. Neuróny sú navzájom pospájané tzv. laterálnymi spojeniami, ktoré môžu byť bud' excitačné a/alebo inhibičné. Vpravo, obr. 6.19b, je ešte viac zjednodušená architektúra, ktorá sa používa vo výpočtoch. Receptorová vrstva je nahradená vstupným vektorom a laterálne väzby neurónov tzv. funkciou okolia neuróna, súťažením a kooperáciou neurónov, ako uvidíme ďalej. (Obrázok je prevzatý z Farkaš 1997).

OBR.6.19.



#### ZACHOVANIE TOPOLOGIE VSTUPU

Špecifickou črtou SOM je to, že po natrénovaní umožňuje realizovať ***zobrazenie zachovávajúce topológiu*** trénovacej množiny dát. To znamená, že ľubovoľné dva vzory blízke vo vstupnom priestore evokujú v sieti odozvy na neurónoch, ktoré sú tiež fyzicky blízke (vo výstupnom priestore). Vzdialenosť dvoch neurónov sa rovná ich euklidovskej vzdialenosťi na mriežke.

Fenomén topologického zobrazenia príznakov (angl. *feature mapping*) má výrazné zastúpenie v biologických neurónových sietiach, konkrétnie v mozgoch vyšších cicavcov i človeka (Kohonen 1995, Maršala 1985). Existencia *topografických máp* bola zistená v rôznych častiach mozgu, hlavne v mozgovej kôre. Jedná sa o mapy, ktoré bud' priamo reprezentujú senzorický (zmyslový) priestor (napr. mapa povrchu tela), alebo reprezentujú príznaky vstupu, ktoré sú nejakým spôsobom vypočítavané. Ako príklady možno uviesť vizuálne mapy (napr. mapa orientácií svetelných kontrastov) a sluchové mapy (napr. mapa frekvencií a amplitúd akustických stimulov). Mozgová kôra je priestorovo organizovaná a je pre ňu charakteristická *lokálnosť odoziev* na vstupné podnety. Topografické mapy nie sú pri narodení úplne vyvinuté, ale formujú sa v počiatocných štadiach vývoja v dôsledku zmyslovej skúsenosti. Hoci usporiadanie neurónových sietí mozgu a ich funkcie sú dané geneticky, je tu priestor pre *modifikateľnosť* týchto štruktúr v dôsledku aktuálnej skúsenosti. Mechanizmy tejto *plasticity* sú tiež pripravené geneticky, aby sa organizmus mohol prispôsobiť zmenému prostrediu. Proces modifikácie prebieha na základe podnetov prichádzajúcich z okolitého prostredia a je potrebný na vývoj normálnych topografických máp.

<b>HEBBOVO PRAVIDLO UČENIA</b> Samoorganizácia, respektíve učenie v SOM je založené na tzv. Hebbovom pravidle učenia. V r. 1949 vyšla kniha „The Organization of Behavior“, jedna z najcitolitejších prác v oblasti NS (Hebb, 1949). <b>Hebb</b> postuloval predpoklad, že vähy spojení medzi neurónmi v mozgu sa permanentne menia ako sa jedinec adaptuje a učí nové veci, a to podľa takéhoto pravidla: <i>"When an axon of cell A ... excite(s) cell B and repeatedly or persistently takes part in firing it, some growth process or metabolic change takes place in one or both cells so that A's efficiency as one of the cells firing B is increased"</i> (Keď má axón bunky A excitáčný účinok na bunku B, a opakovane alebo vytvára sa zúčastňuje na jej aktivácii, v jednej alebo v oboch bunkách prebehne nejaký rastový proces alebo metabolická zmena, takže účinnosť bunky A ako jednej z buniek, ktoré aktivujú B, vzrástie).
<b>KOHONENOV ALGORITMUS UČENIA</b> Fínsky teoretik Teuvo <b>Kohonen</b> navrhol jednu z možných formalizácií tohto pravidla, ktorá sa používa na trénovanie SOM. Preto sa SOM niekedy nazýva aj Kohonenova sieť. Vähy medzi vstupom a neurónmi v mriežke inicializujeme na malé náhodné čísla, napr. z intervalu (-0,5; 0,5). Majme trénovaciu množinu vzorov $A_{train} = \{\bar{x}_p\}_{p=1}^P$ . Neuróny v sieti sú lineárne s nulovými prahmi, t.j.
$o_i = \sum_{j=1}^m w_{ij} x_j = \bar{w}_i \cdot \bar{x} \quad (6.37)$
<b>NÁJDENIE VÍŤAZA</b> pričom $m$ je dimenzia vstupu. Nech $i = 1, \dots, n$ je počet neurónov v mriežke. V náhodnom poradí dávame na vstup siete jednotlivé vzory. Pre každý vzor, nájdeme víťazný neurón. Zisťovanie pozicie (indexu) víťazného neuróna sa nazýva <b>súťaženie</b> . Výsledkom súťaženia v každom kroku (po predložení konkrétneho vstupu) je <b>vítazný neurón</b> , ktorý najviac reaguje na daný vstup $\bar{x}$ . Jednou možnosťou je hľadať maximum výstupu lineárneho neurónu, t.j. $i^* = \operatorname{argmax}_i(\bar{w}_i \cdot \bar{x})$ , kde $i^*$ je index víťazného neurónu (DP, dot product verzia). V základnej, tzv. ED (angl. Euclidean Distance) verzii algoritmu SOM figuruje iná miera podobnosti: nájdeme sa neurón, ktorého váhový vektor je najbližšie k aktuálnemu vstupu v zmysle euklidovskej vzdialenosťi:

$$i^* = \operatorname{argmin}_i \|\bar{x} - \bar{w}_i\| \quad (6.38)$$

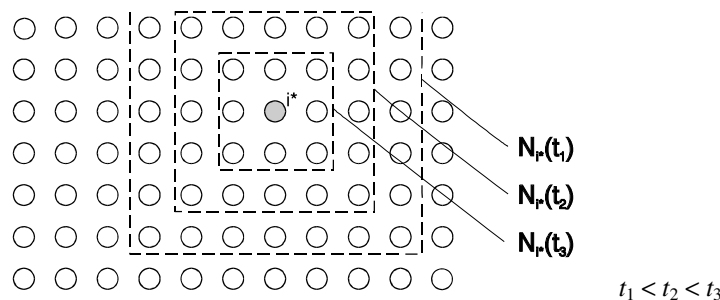
Po nájdení víťaza nasleduje adaptácia väh – **učenie**. To zabezpečí, že váhové vektory víťazného neuróna a jeho topologických susedov sa posunú smerom k aktuálnemu vstupu podľa vzťahu

$$\bar{w}_i(t+1) = \bar{w}_i(t) + \alpha(t) \cdot h(i^*, i) \cdot [\bar{x}(t) - \bar{w}_i(t)] \quad (6.39)$$

Funkcia  $\alpha(t) \in (0,1)$  predstavuje premenlivú rýchlosť učenia, ktorá s časom klesá k nule (napr. podľa vzťahu  $1/t$ , resp.  $\exp(-kt)$ ), čím sa zabezpečí ukončenie procesu učenia. Funkcia okolia  $h(i^*, i)$  (obr. 6.20) definuje rozsah *kooperácie* medzi neurónmi, t.j. kolko váhových vektorov prisluhujúcich neurónom v okolí víťaza bude adaptovaných, a do akej miery.

**OBR.6.20.**

ZMENŠUJÚCE SA  
OKOLIE VÍŤAZNÉHO  
NEURÓNA



Najjednoduchšou používanou funkciou je pravouhlé okolie

$$h(i^*, i) = \begin{cases} 1 & \text{ak } d_M(i^*, i) \leq \lambda(t) \\ 0 & \text{inak} \end{cases} \quad (6.40)$$

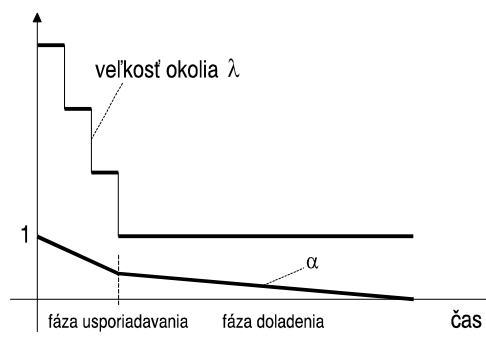
pričom  $d_M(i^*, i)$  predstavuje vzdialenosť typu „Manhattan“ medzi neurónmi  $i^*$  a  $i$  v mriežke mapy (t.j. sumu absolútnej hodnôt rozdielov ich súradníč). Na základe numerických simulácií dospele Kohonen k záveru, že najlepšie výsledky sa dosiahnu vtedy, ak sa veľkosť okolia s časom diskrétnie zmenšuje (priemer okolia odpovedá hodnote  $2\lambda(t)$ ) (obr. 6.20, prevzatý z Farkaš 1997). V blízkosti okrajov mapy okolie nie je symetrické (týka sa to najmä počiatočných fáz algoritmu, keďže polomer okolia veľký). Druhou často používanou voľbou je gaussovské okolie, ktoré možno popísť rovnicou

$$h(i^*, i) = \exp\left(-\frac{d_E^2(i^*, i)}{\lambda^2(t)}\right) \quad (6.41)$$

kde  $d_E(i^*, i)$  predstavuje euklidovskú vzdialenosť neurónov  $i^*$  a  $i$  v mriežke, t.j.  $d_E(i^*, i) = \|\mathbf{r}_{i^*} - \mathbf{r}_i\|$ , kde  $\mathbf{r}_i$  označuje vektor súradníč  $i$ -teho neurónu v SOM. Parameter  $\lambda(t)$  klesá s časom k nule, čím sa zabezpečuje zmenšovanie okolia počas učenia. Na obr. 6.21 je spôsob ako upravovať veľkosť okolia a  $\alpha$ .

**OBR.6.21.**

AKTUALIZÁCIA  
PARAMETROV  
UČENIA



V procese učenia sa rozlišujú dve fázy. V prvej, nazývanej *fáza usporiadavania*, klesá veľkosť okolia diskrétnie s časom. Počas druhej fázy – *fázy doladenia* – možno ponechať najbližších susedov súčasťou okolia, až kým učenie neskončí. Na funkcií poklesu parametra učenia  $\alpha$  v praxi až tak veľmi nezáleží.

Dôležité je, aby  $\alpha$  bola monotónne klesajúca funkcia znejakej hodnoty blízkej 1, s malými hodnotami (rádovo 0,1–0,01) počas fázy doladenia. Možnou voľbou je napr. lineárna lomená funkcia, exponenciálna funkcia atď. Na presnom počte iterácií takisto nezáleží. Kohonen uvádzá empiricky získanú pomôcku, podľa ktorej počet iterácií má byť minimálne 500-násobok počtu neurónov v sieti. Bežne sa počet iterácií pohybuje v rozmedzí rádovo 10000–100000. Na základe simulácií sa takisto ukázalo, že je vhodné rozdeliť celkovú dobu trénovania tak, že na fázu doladenia sa ponechá viac času ako na prvú fázu.



**KROK 1:** Zvolíme  $\alpha_0$ ,  $\lambda_0$  a  $t_{\max}$  (maximálny počet iterácií). Počiatočné váhy inicializujeme ako náhodné čísla  $\in (-0.5, 0.5)$ . Počítadlá nastavíme takto:  $t = 0$ ,  $p = 1$ , kde  $t$  je iterácia (čas) a  $p$  je index vzoru.

**KROK 2:** Na vstup dám vzor  $\bar{x}^p$  a nájdeme víťazný neurón (rovnica 6.38).

**KROK 3:** Upravíme váhy víťaza a jeho topologických susedov (rovnica 6.39).

**KROK 4:** Aktualizujeme hodnoty  $\alpha$  a  $\lambda$  (obr. 6.21).

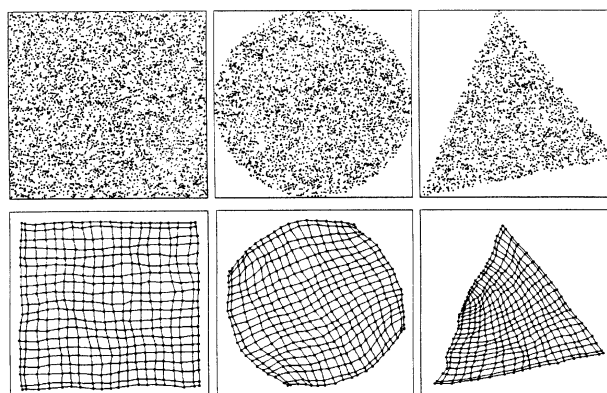
**KROK 5:** Ak  $p < P$ , tak polož  $p = p + 1$  a chod' na krok 2. Inak chod' na krok 6.

**KROK 6:** Ak  $t = t_{\max}$ , ukonči učenie. Inak polož  $p = 1$  a chod' na krok 2. Začína sa nový trénovací cyklus (epocha), t.j. nový prechod cez  $A_{train}$ .

### Príklady topologických zobrazení pomocou SOM<sup>9</sup>

OBR.6.22.

APROXIMÁCIA DÁT  
S ROVNOMERNÝM  
ROZDELENÍM  
HUSTOTY

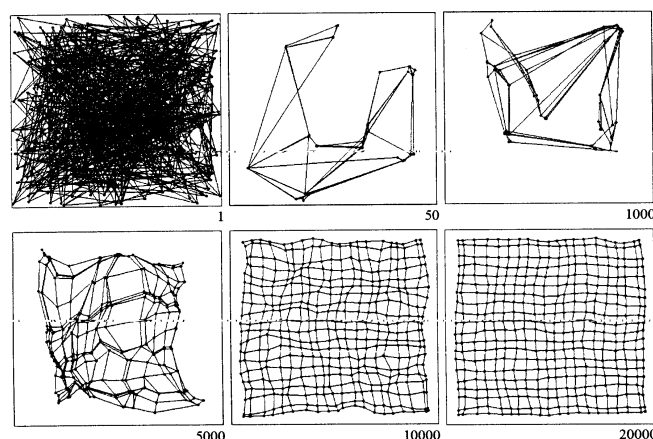


Horná trojica obrázkov znázorňuje tri rôzne množiny vstupných dát. Trénovacie vektory tvoria súradnice bodov v rovine, t.j.  $(x, y)$ . Spodná trojica obrázkov znázorňuje váhy,  $\bar{w} = (w_x, w_y)$  všetkých 20x20 neurónov SOM po natrénovaní (20000 iterácií). Váhy susedných neurónov sú spojené čiarou.

<sup>9</sup> Všetky príklady sú prevzaté z Farkaš 1997.

**OBR.6.23.**

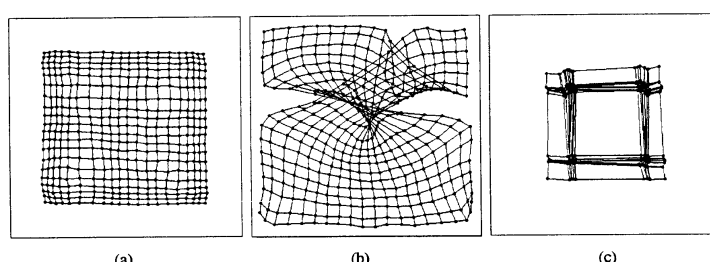
USPORIADAVANIE  
VÁHOVÝCH  
VEKTOROV



Obr. 6.23 ilustruje proces usporiadavania váhových vektorov SOM počas trénovalia na dátach s rovnomerným rozdelením v tvare štvorca. Číslo pri pravom dolnom rohu vyjadruje počet vykonaných iterácií učenia. Horné tri obrázky zľava doprava ilustrujú fázu usporiadavania, spodná trojica obrázkov ilustruje fázu dolad'ovania. Váhy susedných neurónov sú spojené čiarou, takže na obrázku v ľavom hornom rohu vidno, že po inicializácii malými náhodnými váhami, majú susedné neuróny v SOM úplne nepodobné váhové vektorov.

**OBR.6.24.**

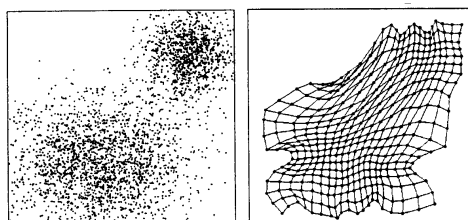
ZLÉ  
NATRÉNOVANIE  
SOM



Obr. 6.24 ilustruje niektoré špeciálne efekty, ktoré môžu vzniknúť pri zlom natrénovalia siete. (a) Neúplné rozvinutie siete v dôsledku príliš rýchleho poklesu rýchlosť učenia  $\alpha$  v porovnaní so zmenšovaním okolia  $\lambda$ . (b) Tzv. motýľí efekt spôsobený príliš rýchlym zmenšením okolia  $\lambda$  v porovnaní s poklesom  $\alpha$  (c) Tzv. „pinch“ efekt vznikajúci pri príliš pomalom zmenšovaní  $\lambda$ .

**OBR.6.25.**

APROXIMÁCIA DÁT  
S  
NEROVNOMERNÝM  
ROZDELENÍM  
HUSTOTY



Vstupné dátá tvoria dva gaussovské 2D „obláčiky“ bodov. Tam, kde sú dátá hustejšie, sú váhové vektorov susedných neurónov v SOM k sebe bližšie. (20x20 neurónov, 20000 iterácií.)

SOM sa dá využiť na redukciu dimenzie dát a na odhalenie vnútornej štruktúry ich distribúcie. Toto príde vhod najmä pri viacrozmerných dátach.

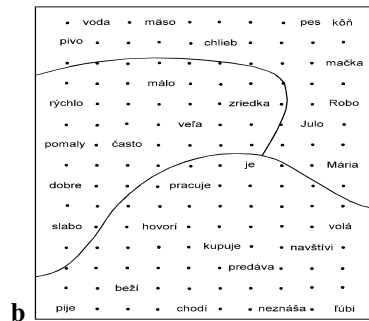
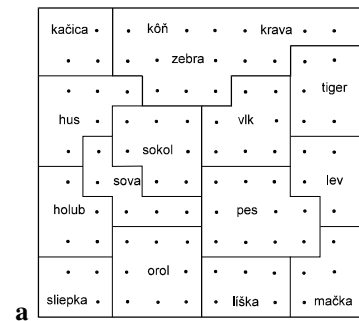
#### VEKTOROVÁ KVANTIZÁCIA

Na natrénovanú SOM sa môžeme pozerať ako na **vektorový kvantifikátor**. Pri vektorovej kvantifikácii je úlohou nahradiť danú množinu (distribúciu) vstupných dát početne menšou množinou referenčných vektorov, nazývaných **prototypy**. V SOM hrajú úlohu prototypov váhové vektory. Takáto náhrada sa môže uplatniť napr. pri prenose údajov v telekomunikáciách, či v kompreSSI dát (obrazových, rečových), keď sa dosiahne výrazné zmenšenie objemu dát pri minimálnom poklese kvality. Vďaka vektorovej kvantizácii stačí preniesť (či uchovať) len množinu prototypov spolu s informáciou (index prototypu) o príslušnosti každého vstupného vektora ku konkrétnemu prototypu (na základe ich vzájomnej euklidovskej vzdialenosť). Okolo každého prototypu (centra) možno vymedziť oblasť, ktorej množina bodov má k danému centru menšiu euklidovskú vzdialenosť ako ku akémukoľvek inému centru. Vektorovou kvantizáciou sa tak priestor  $X$  rozdelí na disjunktné oblasti, ktoré tvoria tzv. **Voronoiho mozaiku**.

#### TOPOGRAFICKÉ MAPY ABSTRAKTNÝCH DÁT (SYMBOLOV)

Vzťahy medzi symbolmi nie sú obvykle zistiteľné z ich kódových reprezentácií. SOM umožňuje využiť **kontext**, v ktorom sa symboly opakovane vyskytujú na vytvorenie topografických sémantických máp. Uvedieme dva príklady.

**OBR.6.26.**  
SÉMANTICKÉ MAPY



#### USPORIADANIE SYMBOLOV PODĽA ICH ATRIBÚTOV

V prvom príklade bol ku každému symbolu (meno zvieratá) priradený vektor binárnych atribútov. Prítomnosť atribútu označená jednotkou, absencia nulou, ako veľkosť zvieratá (malé, stredné, veľké), vonkajší popis tela (má 2 nohy, 4 nohy, srst, kopytá, hrievu, perie) a čo rado robí (loví, behá, lieta, pláva). Takyto 13-rozmerný vektor atribútov  $\mathbf{x}_a$  bol vygenerovaný pre každé zvieratá, pričom kódy zvierat  $\mathbf{x}_s$  boli zámerne vytvorené tak, aby nenesli žiadnu informáciu o vzájomnej podobnosti medzi zvieratami: každý vektor  $\mathbf{x}_s$  obsahoval samé nuly, až na jednu hodnotu  $z$ , ktorá figurovala na pozícii udávajúcej poradové číslo zvieratá (1 až 16). Oba vektorové boli zlúčené v jeden 29-rozmerný vektor  $\mathbf{x} = [\mathbf{x}_s, \mathbf{x}_a]$  charakterizujúci každé zvieratá, pričom hodnota  $a$  bola stanovená na  $z = 0.2$ , aby vplyv atribútovéj časti vektora  $\mathbf{x}$  bol väčší ako vplyv symbolovej časti. Vektorové  $\mathbf{x}$  boli napokon normované kvôli lepšej stabilizácii učenia. Počas trénovania bolo SOM prezentovaných 2000 náhodne vyberaných vzorov  $\mathbf{x}$  z 16-

prvkovej množiny. Proces určovania prototypov (návestí tried resp. indexov neurónov s maximálnou odozvou na daný symbol) bol však realizovaný na základe vektorov  $\mathbf{x} = [\mathbf{x}_s, \mathbf{0}]$ , čoho výsledkom je mapa na obr. 6.26a. Z toho vyplýva, že hoci reprezentácia vzájomných vzťahov podobnosti bola získaná vďaka prítomnosti atribútových častí počas trénovania, správna odozva SOM v testovacej fáze sa generuje i pri absencii  $\mathbf{x}_a$ , t.j. len na základe symbolovej časti. Kvalitatívne rovnakú reprezentáciu by sme dostali aj pri použití  $\mathbf{x} = [\mathbf{x}_s, \mathbf{x}_a]$ .

#### SÉMANTICKÁ MAPA NA ZÁKLADE KONTEXTU

V druhom príklade je kontext symbolu reprezentovaný pomocou iných symbolov, ako to možno pozorovať v prirodzenom jazyku. Uvažovaná množina 30 symbolov zahrňovala podstatné mená, slovesá a príslovky. Generované trénovacie vzory pozostávali zo zmysluplných trojslovných vied (napr. Robo pomaly beží, lev je mäso, atď.), teda symbol+dvojslovný kontext. Každý z troch symbolov bol nejako kódovaný ako 7-rozmerný vektor bez toho, aby sa v kódoch skrývala nejaká podoba. Opäť, aby sa zvýraznil vplyv kontextu, bol parameter  $z$  v symbolovej časti stanovený na  $z = 0.2$ . Po natrénovaní na 2000 (21-rozmerných) vstupných vzoroch tvaru  $\mathbf{x} = [\mathbf{x}_s, \mathbf{x}_a]$  boli prototypy určené len na základe symbolovej časti a výsledkom je mapa na obr. 6.26b. Separované oblasti označujú jednotlivé slovné druhy, v rámci ktorých možno vidieť aj usporiadanosť podľa významu zastúpených symbolov.

## 6.7 HISTÓRIA UMELÝCH NEURÓNOVÝCH SIETÍ

#### VÝPOČTOVÁ NEUROVEDA

Jedna z tém v histórii neurónových sietí súvisí s realistickým modelovaním nervových buniek a mozgu (Bower and Beeman, 1995). V súčasnosti sa pre túto oblasť používa názov **výpočtová neuroveda** (angl. *computational neuroscience*). V súčasnosti sa vo výpočtovej neurovede široko používajú a skúmajú tzv. **impulzné neuróny** (angl. *spiking neurons*) (Maass and Bishop, 1999).

#### MCCULLOCH A PITTS

V r. 1943 McCulloch a Pitts predstavili prvú umelú neurónovú sieť (McCulloch and Pitts, 1943). Ich **formálne neuróny** boli vlastne iba jednoduché **logické prepínače**. Hodnoty synaptických váh a prahov boli fixné. McCulloch a Pitts ukázali, že všetky procesy, ktoré sa dajú opísat konečným počtom symbolických výrazov, teda jednoduchá aritmetika, klasifikácia, záznam konečnej množiny dát, rekurzívna aplikácia logických pravidiel a pod., sa dajú realizovať sieťou zloženou z takýchto elementov. Ak je táto sieť nekonečne veľká, tak je výpočtovo ekvivalentná univerzálnemu Turingovmu stroju.

#### PERCEPTRÓNY

V roku 1958 Frank Rosenblatt ukázal, že McCullochov-Pittsove siete s modifikateľnými synaptickými váhami sa dajú natrénovať tak, aby vedeli rozpoznať a klasifikovať objekty (Rosenblatt, 1958). Vymyslel pre ne názov „perceptróny“. V r. 1969 Minsky a Papert ukázali, že tieto siete vôbec nie sú výpočtovo univerzálné a dokážu riešiť iba **lineárne separovateľné problémy** (Minsky and Papert, 1969). Tento **problém sa vyriešil** až skoro o 20 rokov neskôr, v r. 1986, keď Rumelhart, Hinton a Williams zaviedli pravidlo učenia **metódou spätného šírenia chýb** (angl. *error back-propagation learning*) pre

#### UČENIE METÓDOU SPÄTNÉHO ŠÍRENIA CHÝB

HOPFIELDOV  
MODEL

viacvrstvové dopredné neurónové siete (Rumelhart et al., 1986).

SAMOORGANIZÁCIA

Špeciálnu kapitolu tvoria tzv. **Hopfieldove** alebo **atraktorové neurónové siete** (Amit, 1989; Kvasnička et al., 1997). Sú založené na analógii s fyzikálnymi systémami. Tieto siete sa neučia, ale ich **pamäťové stavy** sú **predprogramované** v matici synaptických spojení, ktorá je skonštruovaná tak, aby pamäťové stavy tvorili atraktory v stavovom priestore.

Značná časť výskumu v neurónových sietiach sa venuje aj algoritmom **učenia bez učiteľa** (angl. *unsupervised learning*) a na systémy, ktoré sú **schopné samoorganizácie**. Vyvinuli sa neurónové siete, ktoré sú schopné naučiť sa klasifikovať vzory bez explicitnej informácie o tom, ktoré vzory do ktorej triedy patria. Takéto neurónové siete sú schopné samy objavovať **štatistické pravidelnosti** vo vstupných dátach a zakódovať ich na svojom výstupе. (Kohonen, 1995; Farkaš, 1997).

## ZHRNUTIE

V tejto kapitole sme uviedli čitateľa do problematiky umelých neurónových sietí s dôrazom na **algoritmy učenia s učiteľom** (angl. *supervised learning*) • Na doplnenie vedomostí o trénovaní umelých neurónových sietí bez spätej väzby od učiteľa z domácej literatúry odporučame (Kvasnička et al., 1997; Oravec et al., 1998).

NEUROBIOLOGIA

Umelé neurónové siete sú inšpirované poznatkami o mozgu • Objekty sú v mozgu reprezentované redundantne a distribuovane • Učenie sprevádzajú **zmeny vásy synáps** v mozgových neurónových sietiach • Umelé neurónové siete majú emergentné správanie • „Vidia štatistiku“ svojich stimulov

PERCEPTRÓN

Perceptrón má binárny výstup • Svojim učením **koriguje chybu na výstupe** • Rieši iba lineárne separovateľné problémy

DOPREDNÉ UNS

Prvky dopredných neurónových sietí majú sigmoidálnu vstupno-výstupnú funkciu • Môžu mať aj inú prechodovú charakteristiku, napr. v tvaru radiálnej bázovej funkcie (RBF) • Jednotlivé vrstvy vysielajú spojenia iba dopredu • V priebehu učenia tieto spojenia modifikujú svoju váhu tak, aby sa minimalizovala suma štvorcov chýb medzi požadovaným a skutočným výstupom siete • Umelá neurónová sieť so skrytou neurónovou vrstvou funguje ako **univerzálny approximátor** mnohorozmerných funkcií • Vie riešiť aj **nelineárne problémy klasifikácie** • Po natrénovali je schopná zovšeobecňovať na príklady, ktoré nikdy nevidela • Je citlivá na preučenie • Môžeme skoro zastaviť jej učenie a vybrať optimálny počet skrytých neurónov

RBF

SPÄTNÉ ŠÍRENIE CHÝB

Namiesto toho, aby sme sieti povedali zakaždým správne riešenie, iba jej **výkon oznamkujeme** • Aj tak sa naučí zovšeobecňovať • Je dobré kombinovať umelé neurónové siete s inými prístupmi UI

HRANIE HIER

PREDIKCIA

Dopredná neurónová sieť s **oknom do minulosti** a rekurentné neurónové siete s

BUDÚCEHO  
VÝVOJA DÁT

**vnútornou pamäťou** dokážu reprezentovať časový kontext údajov • Učia sa veľmi pomaly • Na ich dobré natrénovanie potrebujeme tisícky opakovania

HISTÓRIA  
UMELÝCH  
NEURÓNOVÝCH  
SIETÍ

História umelých neurónových sietí sa datuje od roku 1943 • Zaviedlo sa mnoho algoritmov učenia a rôznych architektúr • V 90-tych rokoch 20. storočia sa podarilo dokázať **výpočtovú univerzálnosť** umelých neurónových sietí.

## KLÚČOVÉ POJMY

asociácia	<i>preučenie, pretrénovanie</i>
neurón	<i>testovanie a validácia</i>
excitácia a inhibícia	<i>skoré zastavenie učenia</i>
učenie	<i>počet skrytých neurónov</i>
kódovanie a reprezentácia	<i>selekcia modelu</i>
perceptrón	<i>učenie s odmenou a trestom</i>
lineárna separácia	<i>hranie hier</i>
pravidlo učenia $\delta$	<i>časová štruktúra v dátach</i>
trénovacia množina	<i>neurónové siete s oknom do minulosti</i>
spätné šírenie chýb	<i>rekurentné neurónové siete</i>
spätné šírenie chýb v čase	<i>predikcia údajov</i>
okno do minulosti	<i>rekurentné učenie v reálnom čase</i>
sigmoída	<i>RBF siete</i>
viacvrstvové dopredné neurónové siete	<i>Hebbovo pravidlo učenia</i>
chybová funkcia	<i>samoorganizácia</i>
univerzálna aproximácia	<i>vektorová kvantizácia</i>
klasifikácia	<i>generalizácia</i>

## CVIČENIA



**1. 1.** Naprogramujte binárny perceptrón s troma vstupmi. Pomocou delta pravidla trénujte perceptrón na vykonávanie logických funkcií AND a OR. Zaznamenajte evolúciu stavov perceptrónu t.j. hodnoty na vstupoch a na výstupe v každom trénovacom kroku.



**1. 2.** Skúmanie použitia binárneho perceptrónu na klasifikáciu objektov (číslíc) prichádzajúcich zo „sietnice oka“ rozmerov  $5 \times 5$ . Naprogramujte binárny perceptrón s 25 vstupmi, ktorý klasifikuje tieto číslice na párne a nepárne. Zopakujte cvičenie pre klasifikáciu číslíc ako  $\leq 3$  a  $> 3$ . Po natrénovaní skúste číslice poškodiť (nahradíť niektoré 1 nulami a naopak) a pozorujte, či ich perceptrón aj tak správne zatriedi.

01110	00100	01110	01110	01000
10001	01100	10010	00001	01000
10001	00100	00100	01110	01010
10001	00100	01000	00001	01111

01110	01110	11111	01110	00010
-------	-------	-------	-------	-------



- 1.3.** Navrhnite a natrénujte doprednú dvojvrstvovú neurónovú sieť tak, aby vykonávala binárne násobenie 3 bitov 3 bitmi. Jeden príklad trénovacieho páru je vstup=011011 a požadovaný výstup=001001 (t.j.  $3 \times 3 = 9$ ). Celkovo je 64 trénovacích párov.



- 1.4.** Implementujte doprednú dvojvrstvovú neurónovú sieť, ktorá generuje hodnoty funkcie  $f(x, y) = 0,8 \cdot \sin(x+y)$ , kde suma  $x+y$  nepresahuje  $\pm\pi$ . Sieť bude mať 2 vstupy,  $x$  a  $y$ , a 1 výstup. Na trénovanie použite asi 20 vzorov. Testujte sieť na zovšeobecňovanie pomocou ďalších 20 hodnôt, na ktoré nebola natrénovaná.



- 1.5.** V predchádzajúcich dvoch úlohách experimentujte s momentom a počtom skrytých neurónov. Po naučení môžete skúsiť vymazať nejaké spojenia a pozorovať, či a ako sa výkon siete zhoršuje.



- 1.6.** Opakujte úlohu 1.4 s RBF sieťou. Experimentujte s počtom skrytých neurónov. Po naučení môžete skúsiť vymazať nejaké spojenia a pozorovať, či a ako sa výkon siete zhoršuje.



- 1.7.** Navrhnite si nejaký konečno-stavový automat. (a) Vytvorte si trénovaciu množinu zloženú z pozitívnych (patriacich do jazyka) a negatívnych (nepatriacich do jazyka) slov napr. maximálnej dĺžky 10. Natrénujte RNS pomocou BPTT na zovšeobecnenie klasifikácie postupnosti symbolov, na ktoré nebola natrénovaná. (b) Trénujte RNS pomocou RTRL na tzv. „next-symbol prediction“ na slovách z automatu. Nechajte ju generovať pokračovanie testovacích slov.

## LITERATÚRA

---

- AMIT, D. J.: *Modeling Brain Function, The World of Attractor Neural Networks*, Cambridge: Cambridge University Press, 1989.
- BAHNA, R.: *Využitie neurónových sietí na riešenie logických problémov*. Bratislava: FEI STU, 1998. Diplomová práca.
- BARNESLEY, M.: *Fractals Everywhere*. San Diego: Academic Press, 1988.
- BAXTER, J. - TRIDGELL, A. - WEAVER, L.: *KnightCap: a chess program that learns by combining TD( $\lambda$ ) with MINIMAX search*. Canberra: Australian National Univ., 1997.
- BEŇUŠKOVÁ, L. - KVASNIČKA, V. - POSPÍCHAL, J. (eds): *Hľadanie spoločného jazyka v kognitívnych vedách*. Bratislava: Iris, 2000. (<http://www.ii.fmph.uniba.sk/~benus> )
- BENGIO, Y. - CARDIN, R. - DeMORI, R.: Speaker independent speech recognition with neural networks and speech knowledge. In: *Advances in Neural Information Processing Systems II*, D.S. Touretzky (ed), San Mateo, CA: Morgan Kaufmann, 1990, pp. 218-225.
- BISHOP, C. M.: *Neural Networks for Pattern Recognition*. Oxford: Clarendon Press, 1995.
- BOWER, J. M. - BEEMAN, D.: *The Book of GENESIS: Exploring Realistic Neural Models with the General NEural Simulation System*. New York: Springer Verlag, 1995. (<http://www.bbb.caltech.edu/GENESIS>)

- ČERŇANSKÝ, M.: *Recurrent neural networks*. Písomná práca k rigoróznej skúške, FEI STU, 2001. (<http://www.dcs.elf.stuba.sk/~cernans>)
- COTTRELL, G. W. - MUNRO, P. - ZIPSER, D.: Image compression by back propagation: an example of extensional programming. In: *Models of Cognition: A Review of Cognition Science*. N. E. Sharkey (ed), Norwood, NJ, 1989.
- EFRON, B. - TIBSHIRANI, R. J.: *An Introduction to the Bootstrap*. London: Chapman & Hall, 1993.
- ELMAN, J. L.: Finding structure in time. *Cognitive Science*, vol. 14, 1990, pp. 179-211.
- FARKAŠ, I.: Samoorganizujúce sa mapy. In: *Úvod do teórie neurónových sietí*. V. Kvasnička et al., Bratislava: Iris, 1997, pp. 142-189.
- GORMAN, R. - SEJNOWSKI, T.: Learned classification of sonar targets using a massively parallel network. *IEEE Trans. Acoustics, Speech and Signal Proc.*, vol. 36, 1988, pp. 1135-1140.
- HEBB, D.: *The Organization of Behavior*. New York: John Wiley and Sons, 1949.
- HORNIK, K. - STINCHCOMBE, M. - WHITE, H.: Multilayer feedforward networks are universal approximators. *Neural Networks*, vol. 2, 1989, pp. 359-366.
- JORDAN, M. I.: Serial order: a parallel distributed processing approach. In: *Advances in Connectionist Theory*. J.L. Elman and D. E. Rumelhart (eds), Hillsdale: Erlbaum, 1989.
- KOHONEN, T.: *Self-Organizing Maps*. Berlin: Springer Verlag, 1995.
- KOLEN, J.F.: The origin of clusters in recurrent network state space. In: *Proc. 16<sup>th</sup> Annual Conf. Cognitive Science Society*, Atlanta, GA, Aug. 13-16, 1994.
- KVASNIČKA, V. - BENUŠKOVÁ, L. - POSPÍCHAL, J. - FARKAŠ, I. - TIŇO, P. - KRÁL, A.: *Úvod do teórie neurónových sietí*. Bratislava: Iris, 1997.  
([ftp://math.cktf.stuba.sk/pub/VLADO/NN\\_books\\_texts/UvodDoTeorieNS.pdf.zip](ftp://math.cktf.stuba.sk/pub/VLADO/NN_books_texts/UvodDoTeorieNS.pdf.zip))
- KVASNIČKA, V. - POSPÍCHAL, J. - TIŇO, P.: *Evolučné algoritmy*. Bratislava: STU, 2000.
- LeCUN, Y. - BOSEN, B. - DENKER, J. S. et al.: Backpropagation applied to handwritten Zip code recognition. *Neural Computation*, vol. 1, 1989, pp. 541-551.
- MARŠALA, J.: *Systematická a funkčná neuroanatómia*. Martin: Osveta, 1985.
- MAAS, W. - BISHOP, C. M.: *Pulsed Neural Networks*. Cambridge, MA: MIT Press, 1999.
- McCULLOCH, W. S. - PITTS, W.: A logical calculus of the ideas immanent in nervous activity. *Bulletin of Mathematical Biophysics*, vol. 5, 1943, pp. 115-137.
- MINSKY, M. - PAPERT, S.: *Perceptrons: An Introduction to Computational Geometry*. Cambridge, MA: MIT Press, 1969.
- ORAVEC, M. - POLEC, J. - MARCHEVSKÝ, S. et al.: *Neurónové siete pre číslicové spracovanie signálov*. Bratislava: Faber, 1998.
- POMERLEAU, D. A.: ALVINN: An autonomous land vehicle in a neural network. In: *Advances in Neural Information Processing Systems I*, D.S. Touretzky (ed), San Mateo, CA: Morgan Kaufmann, 1989, pp. 305-313.
- ROSENBLATT, F.: The Perceptron, a probabilistic model for information storage and organization in the brain. *Psychological Review*, vol. 62, 1958, pp. 386-408.
- RUMELHART, D. E. - HINTON, G. E. - WILLIAMS, R. J.: Learning internal representations by error propagation. In: *Parallel Distributed Processing: Explorations in the Microstructure of Cognition, Vol. 1, Foundations*. D. E. Rumelhart and J. L. McClelland (eds), Cambridge, MA: MIT Press / Bradford Books, 1986, pp. 318-363.
- SEJNOWSKI, T. - ROSENBERG, C.: Parallel networks that learn to pronounce English text. *Complex Systems*, vol. 1, 1987, pp. 145-168.
- SINČÁK, P. - ANDREJKOVÁ, G.: *Neurónové siete I, II*. Košice: Elfa, 1996. (<http://neuronai.tuke.sk/cig/source/publications/books/NS1/html/index.html> a .../NS2/html/index.html)

- SUTTON, R. S.: Learning to predict by the methods of temporal differences. *Machine Learning*, vol. 3, 1988, pp. 9-44.
- TESAURO, G.: Neurogammon wins computer olympiad. *Neural Computation*, vol. 1, 1990, pp. 321-323.
- TIŇO, P. - ŠAJDA, J.: Learning and extracting initial Mealy machines with a modular neural network model. *Neural Computation*, vol. 4, 1995, pp. 822-844. (<http://www.dcs.elf.stuba.sk/~tino>)
- TIŇO, P. – ČERŇANSKÝ, M. – BEŇUŠKOVÁ, L.: Markovian architectural bias of recurrent neural networks. In: *Intelligent Technologies – Theory and Applications*, P. Sinčák, J. Vaščák, V. Kvasnička, J. Pospíchal (eds), Amsterdam: IOS Press, 2002, pp. 17-23.
- WEIBEL, A.: Modular construction of time-delay neural networks for speech recognition. *Neural Computation*, vol. 1, 1989, 39-46.
- WILLIAMS, R. J. - ZIPSER, D.: A learning algorithm for continually running fully recurrent neural networks. *Neural Computation*, vol. 1, 1989, pp. 270-280.
- ZURADA, J.M.: *Introduction to Artificial Neural Systems*. St. Paul, MN: West Publ. Comp. 1992.